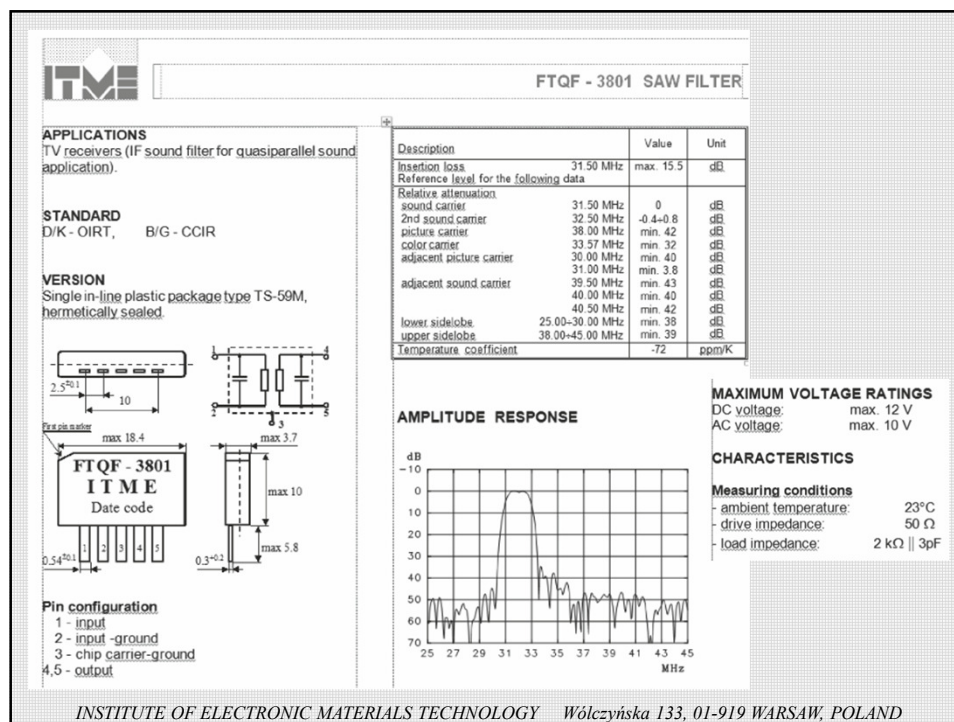
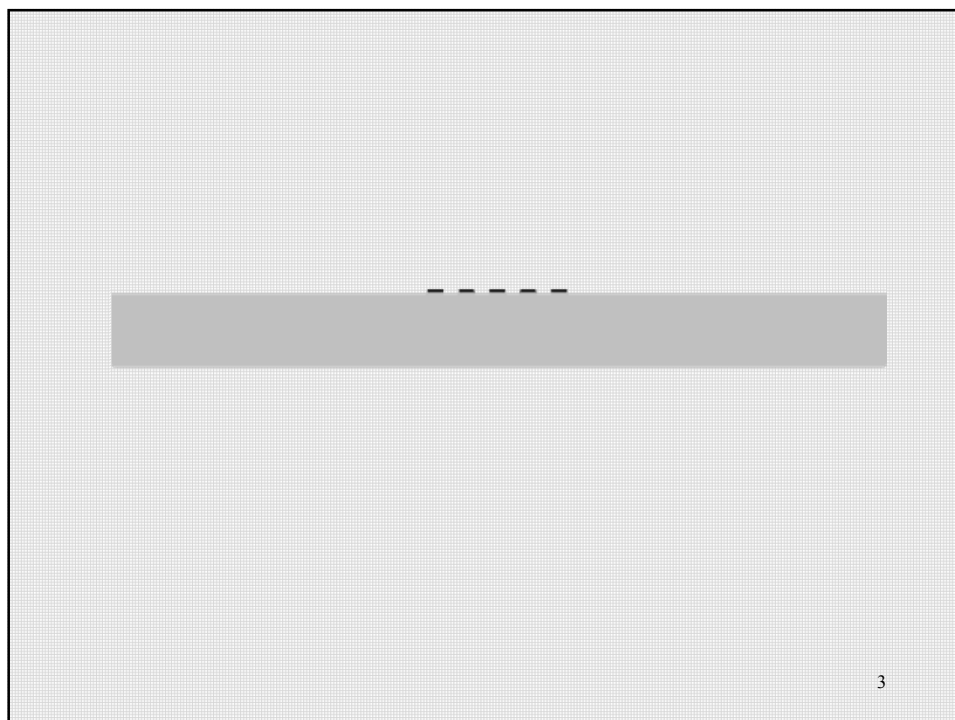


## Modele analityczne IDT

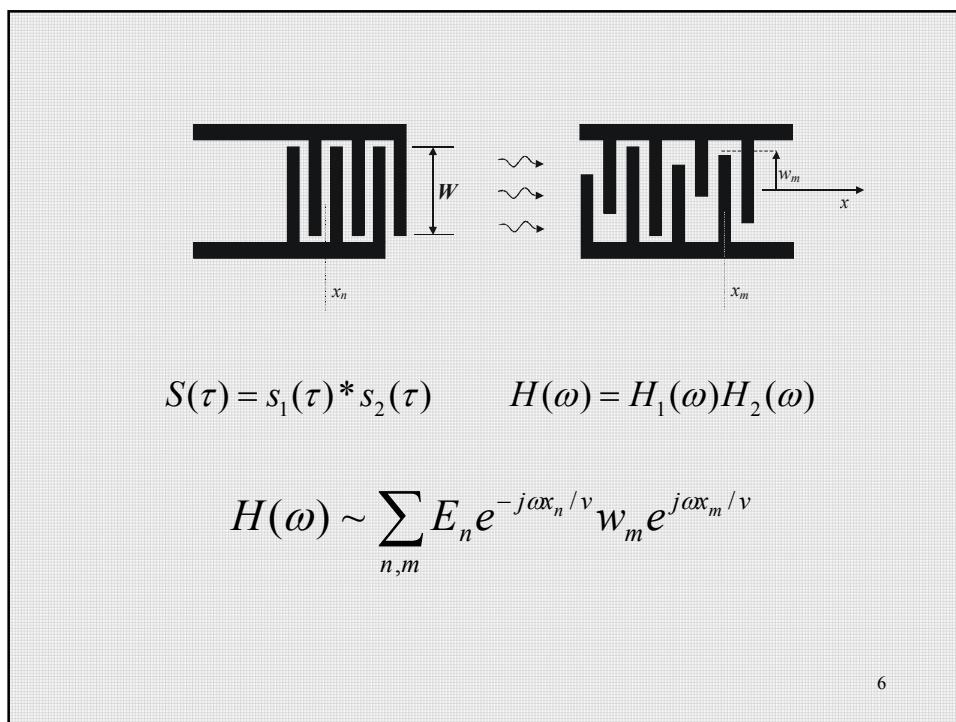
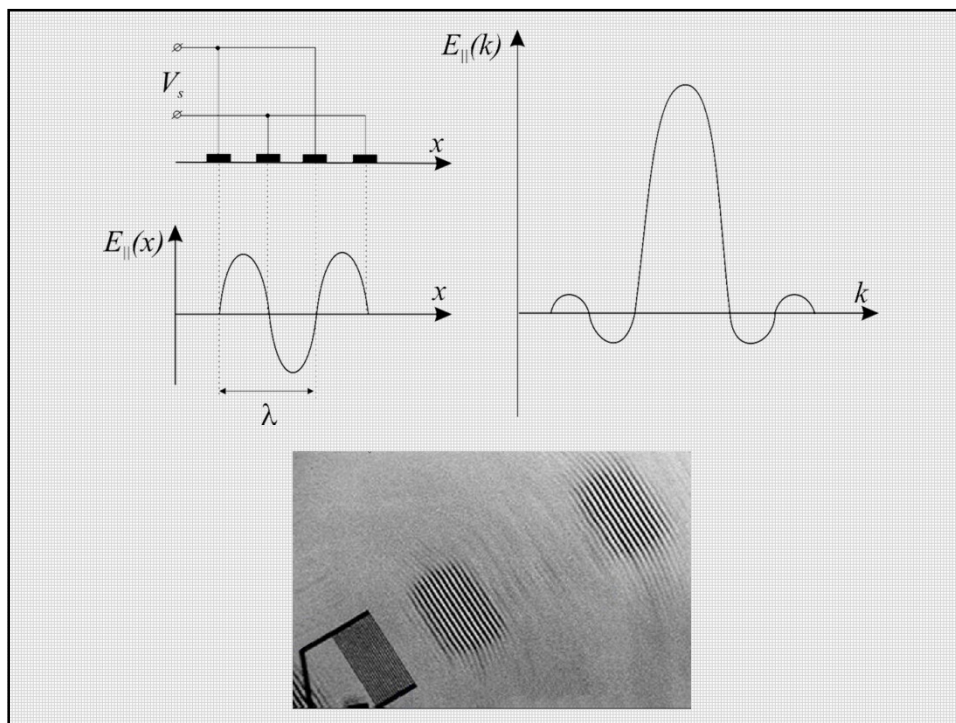




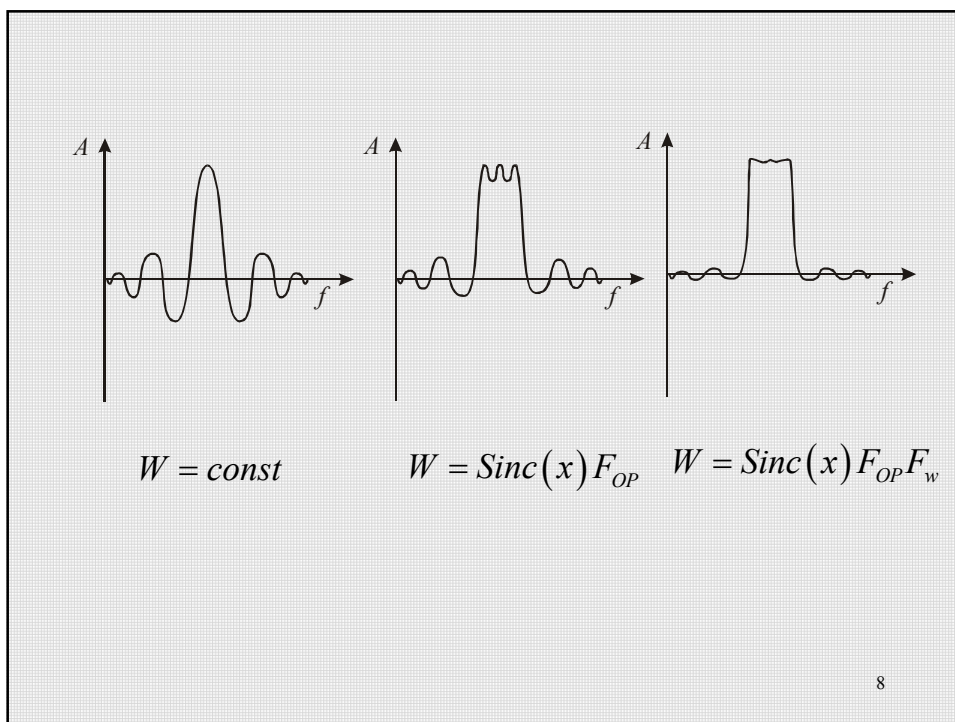
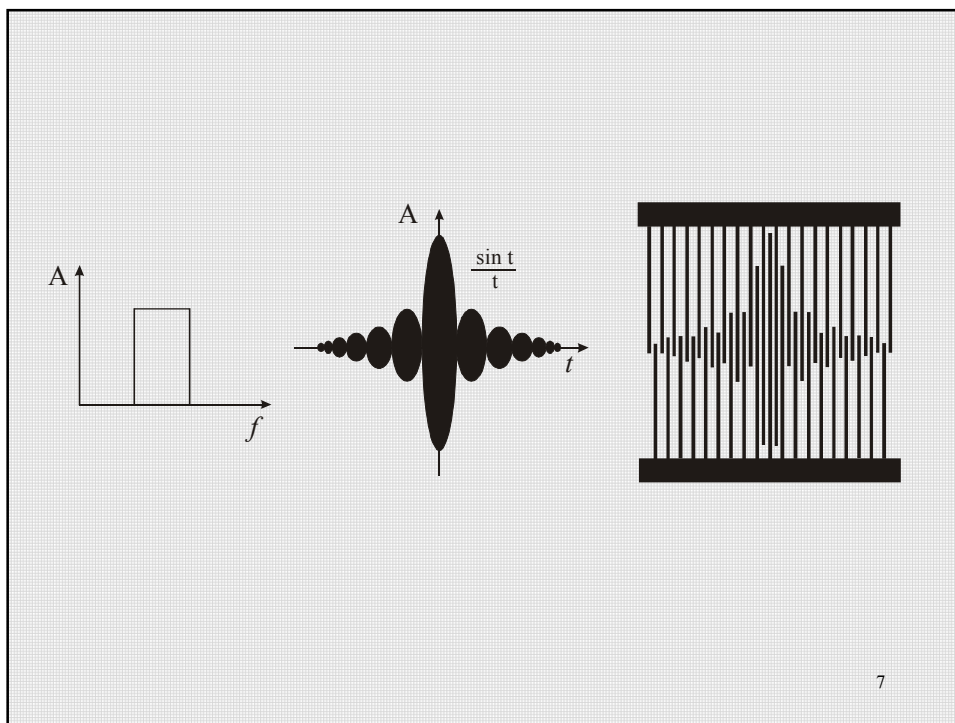
*Model  $\delta$  - Diraca*

$$A(\omega) \approx \sum E_n e^{-j\omega x_n / v}$$

$E_n$  amplitudy impulsów przyłożonych między elektrodami w miejscach  $x_n$







Model  $\delta$  funkcji uwzględnia tylko ogólne własności przetworników IDT.  
Nie uwzględnia tzw. efektów drugiego rzędu jak:

odbicia AFP:

międzyelektrodowe,  
międzyprzetwornikowe (nieparzyste echa)  
od granic podłoża

efekty dyfrakcyjne

generacja i odbicia fal objętościowych

transformacja energii AFP do innych modów

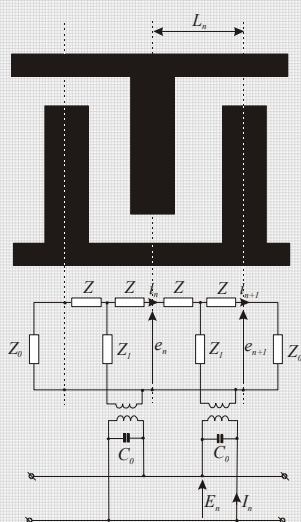
zmiany prędkości AFP pod wpływem elektrycznego i masowego obciążenia podłoża

Uwzględnienie tych efektów możliwe jest przy zastosowaniu innych metod modelowania.

Należą do nich:

udoskonalona metoda  $\delta$  funkcji  
metoda schematu zastępczego,  
metoda widmowa  
metody macierzowe (Y, S),  
metoda modów sprzężonych (COM)  
algorytm Rameza  
metody numeryczne (FEM i BEM)  
inne

### Metoda schematu zastępczego



$$\begin{bmatrix} D_{n+1} \\ e_{n+1} \end{bmatrix} = \begin{bmatrix} \cos \alpha_n & \sin \alpha_n \\ -\sin \alpha_n & \cos \alpha_n \end{bmatrix} \begin{bmatrix} D_n \\ e_n \end{bmatrix} + E_n \begin{bmatrix} -\sin \alpha_n \\ 1 - \cos \alpha_n \end{bmatrix}$$

jedna sekcja przetwornika

$$Z = jZ_0 \operatorname{tg} \frac{\alpha_n}{2} \quad \alpha_n = \frac{\pi f}{2f_n}$$

$$f_n = \frac{v}{2L_n} \quad Z_1 = \frac{jZ_0}{\sin \alpha_n}$$

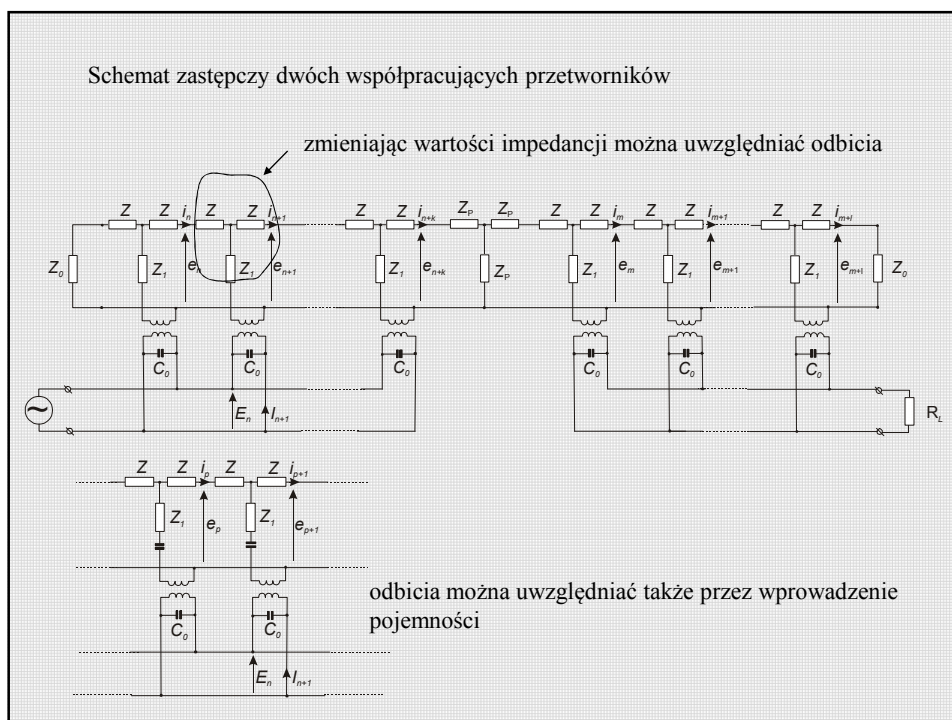
kanal akustyczny

$$D_n = jZ_0 i_n$$

kanal elektryczny

$$I_n = j\omega C_0 E_n + \frac{j(D_n - D_{n+1})}{Z_0}$$

$$Z_0 = \frac{2\pi}{\omega_0 C_0 K_s^2}$$



Model schematu zastępczego umożliwia obliczenie charakterystyki częstotliwościowej przetwornika oraz jego impedancji.

Możliwa jest jednak modyfikacja przedstawionego schematu zastępczego pozwalająca na uwzględnienie efektów dodatkowych występujących w pracy przetwornika tzw. efektów drugiego rzędu, do których należy zaliczyć:

- odbicia międzyelektrodowe,
- wpływ dyfrakcji fali na charakterystyki,
- generację fal objętościowych,
- wpływ rezystancji elektrod,
- zależność skuteczności promieniowania fali powierzchniowej od częstotliwości i geometrii przetwornika.

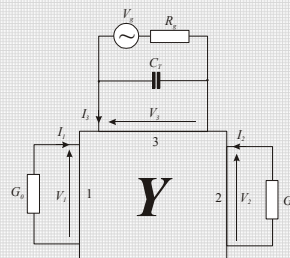
Model schematu zastępczego umożliwia też łatwe przejście do opisu macierzowego, w szczególności na jego podstawie można także przeprowadzić analizę dwóch współpracujących ze sobą przetworników międzypalczastych połączonych ze źródłem sygnału o rezystancji wewnętrznej  $R_g$  i obciążeniem  $R_0$  tworzących filtr z AFP.



Zgodnie z teorią obwodów elektrycznych równania opisujące powyższy układ mają postać:

$$\begin{cases} \begin{bmatrix} I_N \\ I_0 \end{bmatrix} = [Y] \begin{bmatrix} U_N \\ U_0 \end{bmatrix} \\ E_g = I_N R_g + U_N \\ U_0 = -I_0 R_0 \end{cases}$$

Niezależne składowe macierzy  $[Y]$   $[Y] = \begin{bmatrix} y_{nn} & y_{n0} \\ y_{0n} & y_{00} \end{bmatrix}$



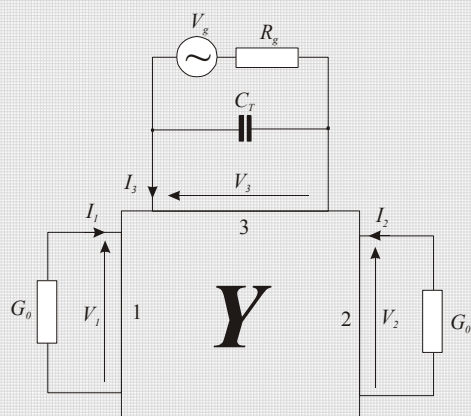
$$y_{nn} = \frac{I_N}{U_N} \Big|_{U_0=0} \quad y_{n0} = \frac{I_N}{U_0} \Big|_{U_N=0}$$

definiowane są przez relacje:

$$y_{0n} = \frac{I_0}{U_N} \Big|_{U_0=0} \quad y_{00} = \frac{I_0}{U_0} \Big|_{U_N=0}$$

$$y_{n0} = y_{0n}$$

Opis przy pomocy macierzy admittancejnej



$$\begin{bmatrix} I_1 \\ I_2 \\ I_3 \end{bmatrix} = \begin{bmatrix} Y_{11} & Y_{12} & Y_{13} \\ Y_{12} & Y_{11} & -Y_{13} \\ Y_{13} & -Y_{13} & Y_{33} \end{bmatrix} \begin{bmatrix} V_1 \\ V_2 \\ V_3 \end{bmatrix}$$

Z rozwiązania układu równań opisujących układ otrzymuje się jego charakterystykę częstotliwościową

$$H(\omega) = \frac{U_0}{E_g} = \frac{y_{0n} R_0}{(1 + y_{nn} R_g)(1 + y_{00} R_0) - y_{0n}^2 R_0 R_g}$$

Charakterystyka częstotliwościowa układu bez uwzględnienia składnika  $y_{0n}^2 R_0 R_g$  opisującego sygnał trzeciego echa ma postać

$$H(\omega) = \frac{H_\delta(\omega) R_0}{(1 + y_{nn} R_g)(1 + y_{00} R_0)}$$

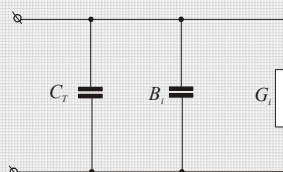
Admitancja wejściowa i wyjściowa zależą od częstotliwości i są opisane za pomocą konduktancji i susceptancji:

$$y_{ii}(j\omega) = G_i(\omega) + jB_i(\omega) + j\omega C_T$$

Wyrażenie

$$y_{ii}(j\omega) = G_i(\omega) + jB_i(\omega) + j\omega C_T$$

można przedstawić na następującym pomocniczym schemacie zastępczym



$$C_T = W \sum_{n=1}^N \sum_{m=1}^N b_n b_m Q_{m-n}$$

$C_T$  jest pojemnością statyczną przetwornika z elektrodami o długości  $W$  i jest obliczana jako suma ładunku elektrostatycznego  $Q$  na wszystkich elektrodach przetwornika międzypalczastego.

Susceptancja  $B$  jest związana z konduktancją  $G$  poprzez transformację Hilberta:

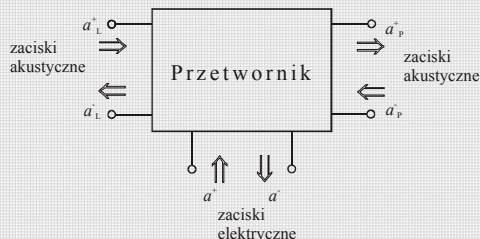
$$B_i(\omega) = -\frac{1}{\pi} \int_{-\infty}^{\infty} \frac{G_i(\omega')}{\omega - \omega'} d\omega'$$

Straty wtrąceniowe filtra definiowane są jako iloraz mocy dostarczonej do obciążenia oraz mocy dysponowanej przez generator:

$$ST = -10 \log \frac{P_0}{P_g} = -10 \log \left( \frac{4R_g |H(\omega)|^2}{R_0} \right)$$



Informacji o energetycznych własnościach przetwornika międzypalczastego może dostarczyć jego **macierz rozproszenia**. Wprowadza się ją rozważając przetwornik w postaci trójwrotnika.



$$\begin{bmatrix} a_p^+ \\ a_L^- \\ a^- \end{bmatrix} = \begin{bmatrix} S_{11} & S_{12} & S_{13} \\ S_{12} & S_{11} & S_{13} \\ S_{13} & S_{13} & S_{33} \end{bmatrix} \begin{bmatrix} a_L^+ \\ a_p^- \\ a^+ \end{bmatrix}$$

$$S_{11} = 1 - \frac{ZG}{1 + ZY_T}$$

$$S_{12} = \frac{ZG}{1 + ZY_T}$$

$$S_{13} = 1 - \frac{\sqrt{2ZG}}{1 + ZY_T}$$

$$S_{33} = 1 - \frac{1 - ZY_T}{1 + ZY_T}$$

$Y_T$  jest admitancją przetwornika, zaś  $G$  jego konduktancją promieniowania.

Z analizy macierzy  $S$ , wynika że przetwornik dwukierunkowy przekształca padającą moc elektryczną na falę elektryczną odbitą od przetwornika oraz dwie fale akustyczne o równych amplitudach, propagujące się w dwóch kierunkach. Maksymalna moc elektryczna jaka może być odebrana od przetwornika odbiorczego wynosi  $P/4$ , gdzie  $P$  oznacza sumaryczną moc wypromieniowaną przez przetwornik nadawczy. Stąd wynika, że minimalne straty wnoszone przez układ dwóch współpracujących przetworników dwukierunkowych wynoszą co najmniej 6dB.

Moc wypromieniowana do elektrycznej linii transmisyjnej nawet przy dopasowaniu jest nie większa niż  $P/2$ . Reszta mocy rozpraszana jest na falę przechodzącą pod przetwornikiem i na falę odbitą od niego.

Z zależności na  $S_{33}$  wynika, że znaczna część strat wnoszonych przez układ dwóch przetworników może pochodzić z ich niedopasowania do źródła i obciążenia o impedancji  $Z$ , ponieważ najczęściej  $Z = 50 \Omega$ , zaś  $Y_T$  ma dużą składową pojemnościową oraz najczęściej małą część rzeczywistą. Najprostszym sposobem dopasowania byłoby włączenie indukcyjności o wartości dobranej do rezonansu, z odpowiednimi pojemnościami statycznymi równoległe do przetworników.

Wówczas źródło i obciążenie „widziałyby” tylko konduktancję promieniowania. Najczęściej jest ona bardzo mała ( $N\Delta v/v$  jest zwykle małe), rezystancja byłaby więc dużo większa od stosowanych rezystancji źródeł i obciążeń.

Inną metodą dopasowania, zmniejszającą rezystancję wejściową przetworników jest metoda polegająca na zastosowaniu indukcyjności szeregowej  $L$ .

Wynikowa rezystancja w rezonansie (tj. dla częstotliwości środkowej) dla małych konduktancji  $G$  w stosunku do susceptancji ( $\omega C$ ) przetworników jest wtedy równa:

$$R = \frac{L}{C} G$$

Najczęściej rezystancja  $R$  powinna wynosić  $50 \Omega$ , należy więc tak dobrać wymiary przetwornika, aby powyższa zależność spełniała ten warunek.

Obwód rezonansowy utworzony z indukcyjności dopasowującej  $L$  i pojemności przetwornika ma pewną dobroć „elektryczną” wynoszącą:

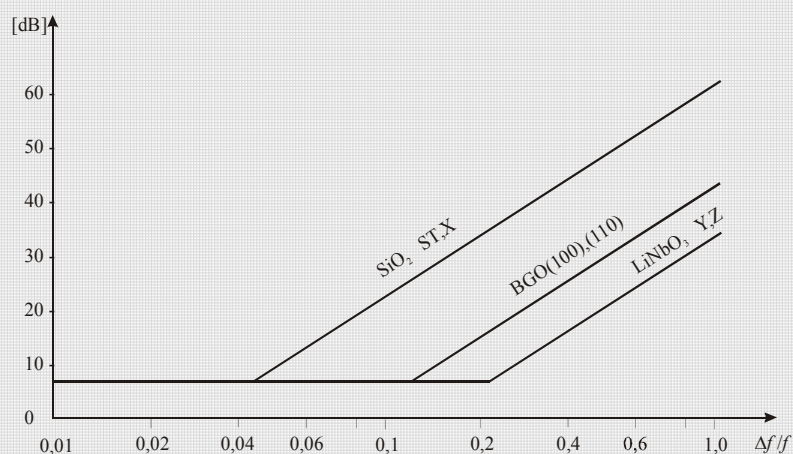
$$Q_e = \omega_0 C / G$$

Dobroć ta jest całkowicie określona (podobnie jak  $C$  i  $L$ ) przez wymiary przetwornika.

Jako warunek dopuszczalnego ograniczenia pasma układu (obwód dopasowujący – przetwornik) przyjmuje się równość:

$$Q_e = Q_a = f_0 / \Delta f$$

gdzie  $\Delta f$  jest pasmem „akustycznym” wynikającym z kształtu przetwornika.



Minimalne straty wnoszone w zależności od pasma względnego przetworników dopasowanych szeregową indukcyjnością do rezystancji  $50 \Omega$  dla trzech podłoży.



## Metoda modów sprzężonych (COM)

Umożliwia projektowanie szerokiego spektrum układów z AFP

Daje poprawne wyniki dla fal Rayleigha propagujących się pod długimi strukturami periodycznymi

Umożliwia opis IDT, reflektorów, sprzęgaczy, przestrzeni między tymi elementami oraz konstrukcję układów kaskadowych złożonych z tych bloków

Nadaje się przede wszystkim do projektowania struktur rezonansowych

Umożliwia konstrukcję szybkich algorytmów numerycznych

Umożliwia optymalizację algorytmów

Najpoważniejszą trudnością jest w metodzie COM konieczność ekstrakcji parametrów niezbędnych do obliczeń

## Równania COM

$$\begin{cases} \frac{d\varphi_+(x)}{dx} = -i\left(\frac{\omega}{v} - i\gamma\right)\varphi_+(x) + i\kappa_{12}\varphi_-(x)e^{-i2\pi x/p} + i\alpha_1 V e^{-i\pi x/p} \\ \frac{d\varphi_-(x)}{dx} = i\kappa_{21}\varphi_+(x)e^{i2\pi x/p} + \left(\frac{\omega}{v} - i\gamma\right)\varphi_-(x) + i\alpha_2 V e^{i\pi x/p} \\ \frac{dI(x)}{dx} = i\eta_1\varphi_+(x)e^{i\pi x/p} + i\eta_2\varphi_-(x)e^{-i\pi x/p} + i\omega CV \end{cases}$$

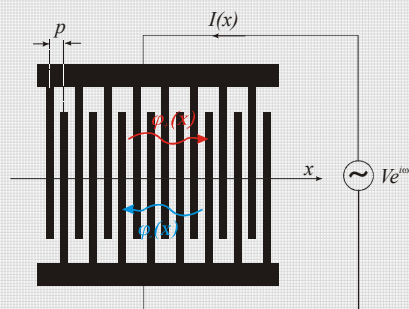
$v$  – prędkość fali,  $\gamma$  – parametr tłumienia,  $C$  – pojemność elektryczna na jednostkę długości  
 $\kappa_{ij}$ ,  $\alpha_i$ ,  $\eta_i$  są parametrami COM

sumaryczna moc akustyczna

$$P_A(x) = \frac{1}{2}|\varphi_+(x)|^2 - \frac{1}{2}|\varphi_-(x)|^2$$

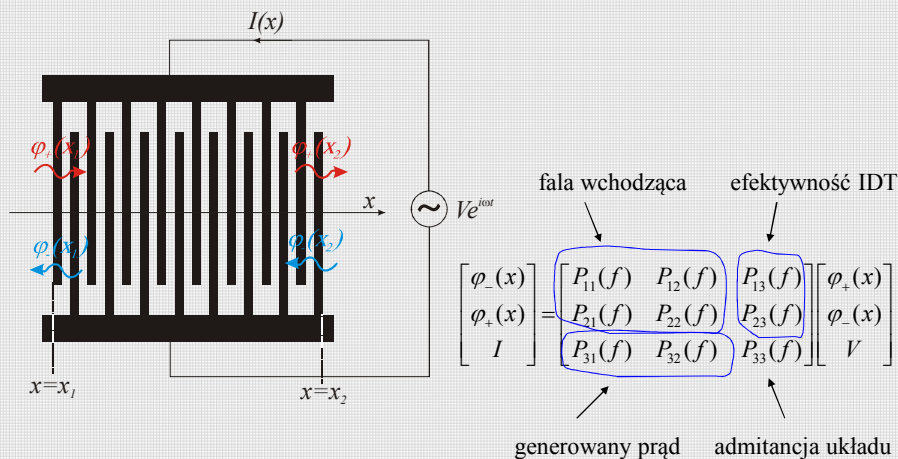
sumaryczna moc elektryczna

$$P_E(x) = \frac{1}{2} \operatorname{Re} \frac{dI^*(x)}{dx} V$$





W zapisie macierzowym, dzieląc przetwornik na dwa kanały otrzymuje się:



Przy braku tłumienia ( $\gamma=0$ ), z zasady zachowania energii:

$$|P_{11}|^2 + |P_{21}|^2 = |P_{12}|^2 + |P_{22}|^2 = 1$$

(suma energii transmitowanej i odbitej)

Wyrazy macierzy nie są niezależne

$$P_{31} = -2P_{13} \quad \text{oraz} \quad P_{32} = -2P_{23}$$

Jeśli układ jest symetryczny dodatkowo

$$P_{11} = P_{22} \quad P_{13} = P_{23} \quad P_{31} = P_{32}$$

Kaskada dwóch bloków generuje macierz o wyrazach:

$$\begin{bmatrix} P_{11} = P_{11}^A + P_{11}^B \frac{P_{21}^A P_{12}^A}{1 - P_{11}^B P_{22}^B} & P_{12} = \frac{P_{12}^A P_{12}^B}{1 - P_{11}^B P_{22}^B} = P_{21} & P_{13} = P_{13}^A + P_{12}^A \frac{P_{13}^B + P_{11}^B P_{23}^A}{1 - P_{11}^B P_{22}^B} \\ & P_{22} = P_{22}^B + P_{22}^A \frac{P_{12}^B P_{21}^B}{1 - P_{11}^B P_{22}^B} & P_{23} = P_{23}^B + P_{21}^B \frac{P_{23}^A + P_{22}^A P_{13}^B}{1 - P_{11}^B P_{22}^B} \\ & & P_{33} = P_{33}^A + P_{33}^B + P_{32}^A \frac{P_{13}^B + P_{11}^B P_{23}^A}{1 - P_{11}^B P_{22}^B} + P_{31}^B \frac{P_{23}^A + P_{22}^A P_{13}^B}{1 - P_{11}^B P_{22}^B} \end{bmatrix}$$

Wartości wyrazów dla dwukierunkowych IDT

$$P_{11} = \frac{i\kappa^* \sin(qL)}{q \cos(qL) + i\delta \sin(qL)} \quad \delta = \frac{2\pi(f - f_0)}{v} - i\gamma \quad q = \pm \sqrt{\delta^2 - |\kappa|^2}, \operatorname{Im} q \leq 0$$

$$P_{12} = \frac{-1^N q}{q \cos(qL) + i\delta \sin(qL)} = P_{21} \quad P_{13} = -\alpha L \frac{\sin(qL/2) (\delta + \kappa) \sin(qL/2) - iq \cos(qL/2)}{qL/2 \quad q \cos(qL) + i\delta \sin(qL)}$$

$$P_{22} = P_{11} \quad P_{23} = (-1)^N P_{13}$$

$$P_{31} = -2P_{13} \quad P_{32} = -2P_{23}$$

$$P_{33} = -\frac{4\alpha(\delta + \kappa)(\delta + \kappa)[1 - \cos(qL)] - iq \sin(qL)}{q^3 \quad q \cos(qL) + i\delta \sin(qL)} - i \frac{4\alpha^2}{(\delta - \kappa)} L + i\omega CL$$

Parametry COM (znormalizowane do  $W$  i  $\lambda$  na  $f_0$ ) dla kwarcu ST

parametr	normowanie	jednostki SI	przykładowe wartości
prędkość	$v$	m/s	3158
reflektancja	$\kappa_p = \kappa \lambda_0$	-	$\sim -0,7$
wsp. przekształcania	$\alpha_p = \alpha \lambda_0$	$1/\sqrt{\Omega}$	$\sim 3,3 \cdot 10^{-5} \sqrt{W/\lambda_0}$
znormalizowany wsp. przekształcania	$\alpha_n = \alpha_p / \sqrt{W/\lambda_0}$	$1/\sqrt{\Omega}$	$\sim 3,3 \cdot 10^{-5}$
tłumienie	$\gamma_p = \gamma \lambda_0$	$Np / \lambda_0$	$\sim 10^{-5}$
pojemność	$C_p = C \lambda_0$	$F$	$48 - 64 \cdot 10^{-5} \cdot W$ [pF/ $\mu\text{m}$ ]
pojemność znormalizowana	$C_n = C_p / W$	$F / m$	$48 - 64 \cdot 10^{-5}$ [pF/ $\mu\text{m}$ ]

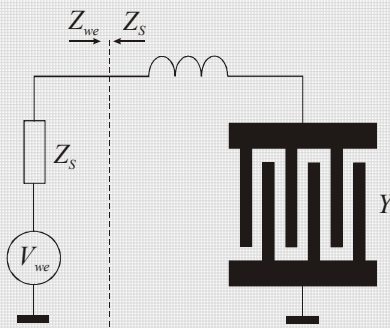
$$1Np = 8,6859\text{dB}$$

## Podstawy projektowania filtrów z AFP

Substancja	Moduły sprężystości		Stale sprężystości		Stale piezoelektryczne $T = 20^\circ\text{C}$		Stale piezoelektryczne $T = 20^\circ\text{C}$		Stale dielektryczne $T = 20^\circ\text{C}$		Współczynniki sprzężenia elektromechanicznego $T = 25^\circ\text{C}$	
	$T = 25^\circ\text{C}$		$T = 25^\circ\text{C}$		$\epsilon_{12}$	$h_{12}$	$d_{12}$	$g_{12}$	$T_m$ $f = 1 \text{ kHz}$	$S_m$ $f = 10 \text{ MHz}$	$k_{11}^I$ drgan' poprz.	$k_{11}^{II}$ drgan' podł.
	$[10^{10} \text{ N}\cdot\text{m}^{-2}]$		$[10^{11} \text{ m}^2\cdot\text{N}^{-1}]$		$[\text{C}\cdot\text{m}^{-2}]$	$[10^{-9} \text{ N}\cdot\text{C}^{-1}]$	$[10^{-12} \text{ C}\cdot\text{N}^{-1}]$	$[10^{-2} \text{ m}^2\cdot\text{C}^{-1}]$	$[10^{-6} \text{ F}\cdot\text{m}^{-1}]$	$[10^{-6} \text{ F}\cdot\text{m}^{-1}]$	—	—
Kwarc $\alpha\text{-SiO}_2$	$c_{11}^p = 8,67$ $c_{12}^p = 0,70$ $c_{14}^p = -1,79$	$c_{11}^s = 8,75$ $c_{12}^s = 0,62$ $c_{14}^s = -1,181$	$s_{11}^p = 12,8$ $s_{12}^p = -1,79$ $s_{14}^p = 4,50$	$s_{11}^s = 12,6$ $s_{12}^s = -1,66$ $s_{14}^s = 4,66$	$e_{11} = 0,17$ $e_{14} = -0,04$	$h_{11} = 4,35$ $h_{14} = -1,04$	$d_{11} = 2,31$ $d_{14} = 0,73$	$g_{11} = 0,058$ $g_{14} = 0,018$	$\epsilon_{11}^r = 39,9$ $\epsilon_{33}^r = 40,7$	$\epsilon_{11}^i = 39,3$ $\epsilon_{33}^i = 40,7$	$k_{11}^I = 0,095$ $k_{14}^I = 0,026$	$k_{11}^{II} = 0,032$ $k_{14}^{II} = 0,013$
Niobian litu $\text{LiNbO}_3$	$c_{11}^p = 20,3$ $c_{12}^p = 5,73$ $c_{13}^p = 7,52$ $c_{15}^p = 24,2$ $c_{33}^p = 5,95$	$c_{11}^s = 21,9$ $c_{12}^s = 3,7$ $c_{13}^s = 7,6$ $c_{15}^s = 25,2$ $c_{33}^s = 9,5$	$s_{11}^p = 58,3$ $s_{12}^p = -11,5$ $s_{13}^p = -14,5$ $s_{15}^p = -50,3$ $s_{33}^p = -171,1$	$s_{11}^s = -52,0$ $s_{12}^s = -4,4$ $s_{13}^s = -14,5$ $s_{15}^s = -48,9$ $s_{33}^s = -108$	$e_{12} = 3,76$ $e_{22} = 2,43$ $e_{31} = 0,23$ $e_{33} = 1,33$	$h_{11} = 9,5$ $h_{22} = 6,4$ $h_{31} = 0,8$ $h_{33} = 5,1$	$d_{13} = 69,2$ $d_{23} = 20,8$ $d_{31} = -0,85$ $d_{33} = 6,0$	$g_{13} = 9,1$ $g_{23} = 2,8$ $g_{31} = -0,4$ $g_{33} = 2,3$	$\epsilon_{11}^r = 0,75$ $\epsilon_{33}^r = 0,25$	$\epsilon_{11}^i = 0,39$ $\epsilon_{33}^i = 0,25$		
Ceramika $\text{BaTiO}_3$	$c_{11}^p = 15,0$ $c_{33}^p = 14,6$	$c_{11}^s = 15,0$ $c_{11}^s = 17,1$	$s_{11}^p = 9,1$ $s_{33}^p = 9,5$ $s_{33}^p = 22,8$	$s_{11}^s = 8,7$ $s_{33}^s = 7,1$ $s_{33}^s = 17,5$	$e_{12} = 11,4$ $e_{31} = -4,3$ $e_{33} = 17,5$	— — —	$d_{13} = 260$ $d_{31} = -78$ $d_{33} = 190$	$g_{13} = 20,2$ $g_{31} = -5,2$ $g_{33} = 12,6$	$\epsilon_{11}^r = 12,8$ $\epsilon_{33}^r = 15,0$	$\epsilon_{11}^i = 9,87$ $\epsilon_{33}^i = 11,2$	$k_{13}^I = 0,48$ $k_{33}^I = 0,38$ $k_{33}^I = -0,56$ wsp. sprzęż. drgan' radial.	$k_{13}^{II} = 0,21$ $k_{33}^{II} = 0,50$
Ceramika $\text{PZT-4}$	$c_{11}^p = 13,9$ $c_{12}^p = 7,78$ $c_{13}^p = 7,68$ $c_{33}^p = 11,6$	$c_{11}^s = 14,5$ $c_{12}^s = 8,39$ $c_{13}^s = 6,09$ $c_{33}^s = 15,9$	$s_{11}^p = 12,3$ $s_{12}^p = -4,05$ $s_{13}^p = -5,31$ $s_{33}^p = 15,5$	$s_{11}^s = 10,9$ $s_{12}^s = -5,42$ $s_{13}^s = -2,10$ $s_{33}^s = 7,90$	$e_{12} = 12,7$ $e_{31} = -5,2$ $e_{33} = 15,1$	$h_{12} = 19,7$ $h_{31} = -9,2$ $h_{33} = 26,8$	$d_{13} = 496$ $d_{31} = -123$ $d_{33} = 239$	$g_{13} = 39,4$ $g_{31} = -11,1$ $g_{33} = 26,1$	$\epsilon_{11}^r = 13,05$ $\epsilon_{33}^r = 11,5$	$\epsilon_{11}^i = 4,50$ $\epsilon_{33}^i = 5,62$	$k_{13}^I = 0,71$ $k_{31}^I = 0,51$ $k_{33}^I = -0,53$	$k_{13}^{II} = 0,33$ $k_{33}^{II} = 0,70$



Jakie ma parametry IDT o maksymalnym paśmie na kwarcu ST?



$$v \approx 3150 \text{ [m/s]} \quad \varepsilon_{11} = \varepsilon_{22} = 4,51\varepsilon_0 \quad \varepsilon_0 = 8,8542 \cdot 10^{-12} \left[ \frac{C^2}{Nm^2} \right]$$

$$\frac{\Delta v}{v} \approx 0,001 \quad \varepsilon_{33} = 4,6\varepsilon_0$$

$$\varepsilon_{13} = 0 \quad \varepsilon_{ef} = \varepsilon_0 \sqrt{\varepsilon_{11}\varepsilon_{33} - \varepsilon_{13}^2} \approx 4,55\varepsilon_0$$

maksymalne pasmo osiąga się gdy dobroć elektryczna jest równa akustycznej i wynosi

$$Q_a = N_p = Q_e = \frac{\omega C}{G_a} = \frac{\omega(\varepsilon_0 + \varepsilon_{ef})WN_p}{\omega(\varepsilon_0 + \varepsilon_{ef})W \frac{\Delta v}{v} N_p^2 \tilde{G}} = \frac{1}{\frac{\Delta v}{v} N_p^2 \tilde{G}}$$

parametr struktury IDT, dla rozdzielonych elektrod  $\tilde{G} = 2,87$

z tego liczba par elektrod wyniesie  $N_p = \sqrt{\frac{1}{\frac{\Delta v}{v} \tilde{G}}} \approx 18,7 \rightarrow 19$

pasmo 3 dB  $\left. \frac{\Delta \omega}{\omega} \right|_{3dB} \approx \frac{1}{N_p} \approx 5,2\%$

impedancja IDT dla częstotliwości środkowej

$$Z = \frac{1}{\frac{1}{R_a} + j\omega C} = \frac{R_a}{1 + j\omega CR_a} = \frac{R_a(1 - j\omega CR_a)}{1 + (\omega CR_a)^2} = \frac{R_a}{1 + (\omega CR_a)^2} - j \frac{\omega CR_a}{1 + (\omega CR_a)^2}$$

Indukcyjność musi skompensować pojemność IDT na częstotliwości środkowej zatem

$$\frac{R_a}{1+(\omega CR_a)^2} = \frac{1}{G_a + \frac{\omega^2 C^2}{G_a}} = R_0$$

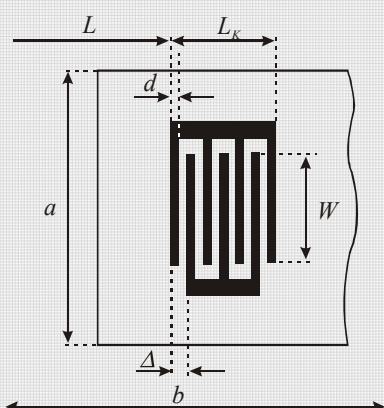
przyjmując  $G_a \ll \omega C$  tzn.  $\frac{1}{R_a} \ll \omega C$  otrzyma się

$$\frac{1}{G_a + \frac{\omega^2 C^2}{G_a}} = \frac{G_a}{\omega^2 C^2} = \frac{2\pi v(\varepsilon_0 + \varepsilon_{ef}) \frac{W}{\lambda} \frac{\Delta v}{v} N_p^2 \tilde{G}}{\left[2\pi v(\varepsilon_0 + \varepsilon_{ef}) \frac{W}{\lambda} \frac{\Delta v}{v} N_p\right]^2} = \frac{\frac{\Delta v}{v} \tilde{G}}{2\pi v(\varepsilon_0 + \varepsilon_{ef}) \frac{W}{\lambda}} = R_0$$

i z tego

$$\frac{W}{\lambda} = \frac{\frac{\Delta v}{v} \tilde{G}}{R_0 2\pi v(\varepsilon_0 + \varepsilon_{ef})} \approx 59$$

Jakie ma parametry prosty filtr z AFP o zadanej częstotliwości środkowej i paśmie?



liczba palców przetworników

$$N = 2\alpha f_0 / \Delta F$$

$$\alpha = 0,6 \div 0,8$$

optymalna liczba palców dla danego podłoża

$$N_{opt} = \sqrt{\pi / k_m^2}$$

Podłoże	$v_s$ [km/s]	$k_m^2$	$\varepsilon_r$
Kwarc	3.15 – 3.2	0.0012 – 0.0024	4.52–4.55
LiNbO <sub>3</sub>	3.5 – 4.0	0.005 – 0.058	25–60
Bi <sub>12</sub> GeO <sub>20</sub>	1.62 – 1.7	0.007 – 0.0164	38–45
Bi <sub>12</sub> SiO <sub>20</sub>	1.7	0.018	
LiTaO <sub>3</sub>	3.2 – 3.4	0.0069 – 0.0093	43–51

odchyłka od optimum	$P = (N_{opt}/N)^2$
period struktury – elektrody $\lambda/4$	$\Delta = v_s/2f_0$
	$d = \Delta/2$
minimalna apertura	$W_{min} = \sqrt{L\lambda_s}$
$L$ dystans między przetwornikami	
długość przetwornika	$L_k = N\Delta - \Delta/2$
minimalne wymiary podłoża	$a = W + 2(\Delta + l) \quad b = L + 2(L_k + l)$
	$l$ dystans od IDT do końca podłoża

$B_1 = -10 \lg \left[ \frac{1}{(1+P)^2} \right]$	współczynnik odbicia fali od przetwornika
$B_2 = -10 \lg \left[ \frac{P^2}{(1+P)^2} \right]$	współczynnik transmisji
$B_3 = -10 \lg \left[ \frac{2P}{(1+P)^2} \right]$	tłumienie wnoszone przez IDT
tłumienie całego filtra	$B = 2B_3$
poziom zniekształceń sygnału na skutek odbić	$B_d = 2B_1$
pojemność przetwornika	$C_0 = NC_1 W/2$
	$C_1 \cong 2(1 + \varepsilon_r)(6.5s^2 + 1.08s + 2.37)$
	$s = d/\Delta$



indukcyjność dopasowująca

$$L = 1/4\pi f_0^2 C_0$$

rezystancja promieniowania dla częstotliwości środkowej

$$R_0 = R_r(f_0) = 2k_m^2 / \pi^2 f_0 C_1 W$$

transmitancja filtru

$$K_F(j\omega) = \frac{K_1(j\omega)}{K_1(j\omega_0)} K_2(j\omega) K_3(j\omega) \frac{K_4(j\omega)}{K_4(j\omega_0)}$$

transmitancja obwodów wejściowych

$$K_1(j\omega) = \frac{Z}{R + j\omega L + Z}$$

$$Z = R_a(f) + jX_a(f) + 1/j\omega C_0 \quad R_a(f) = R_0 (\sin X / X)^2$$

$$X_a(f) = R_0 (\sin 2X - 2X) / 2X^2 \quad X = \pi N (f - f_0) / 2f_0$$

transmitancje przetworników

$$K_2(j\omega) = K_3(j\omega) = \frac{\sin X}{X}$$

transmitancje obwodu wyjściowego dopasowanego indukcyjnością  $L$  z obciążeniem  $R$

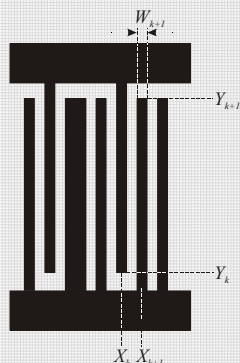
$$K_4(j\omega) = R / (R + Z + j\omega L)$$

całkowita transmitancja (łącznie z odbiciami)

$$K_\Sigma(j\omega) = K_F(j\omega) + B_d \exp(-2\omega t_{vL})$$

opóźnienie  $t_{vL} = (L + L_K) / v_p$

## Przykład obliczeniowy dla przetwornika typu SPUDT



Jedna sekcja. Szerokości elektrod i odstępów wynoszą  $\lambda/8$ .  
Szerokość reflektora  $\lambda/4$ .  $Y_{k+1} - Y_k = \text{const}$ .

Częstotliwość środkowa  $f_0 := 100 \cdot 10^6$  Hz

LiNbO<sub>3</sub>, cięcie Y kierunku Z  $v := 3488$  [m/s]

Liczba sekcji  $N := 100$

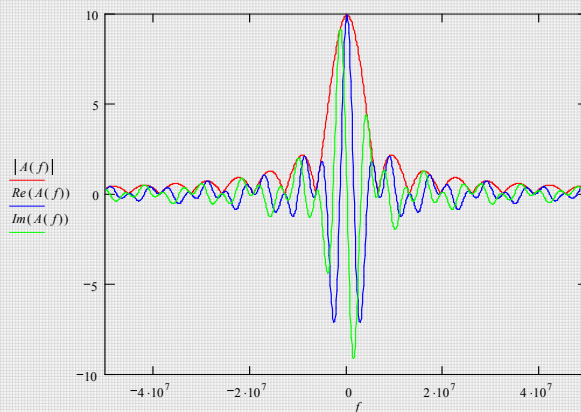
Prędkość fali na powierzchni półmetalizowanej  $vp := v - 0.012 \cdot v$  [m/s]

$$W_k := k \cdot \frac{vp}{8 \cdot f_0} \quad X_k := k \cdot \frac{vp}{4 \cdot f_0} \quad X_{kl} := kl \cdot \frac{vp}{4 \cdot f_0}$$

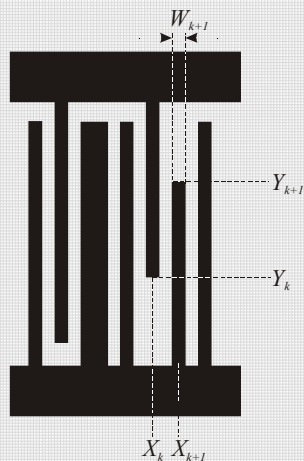
## Charakterystyka amplitudowa

$$A(f) := \sum_{k=1}^{N-1} A \cdot e^{-i2\pi \cdot f \cdot T_k}$$

gdzie  $T_k := \frac{[X_k + X_{kl} + 0.5 \cdot (W_k - W_{kl})]}{2 \cdot vp}$



Przykład obliczeń dla przetwornika SPUDT ważonego



Opóźnienie w jednej sekcji  $\tau := \frac{15 \cdot \lambda}{8 \cdot v_p}$  [s]

Czas przejścia fali pod przetwornikiem  $T_p := N \cdot \tau$  [s]

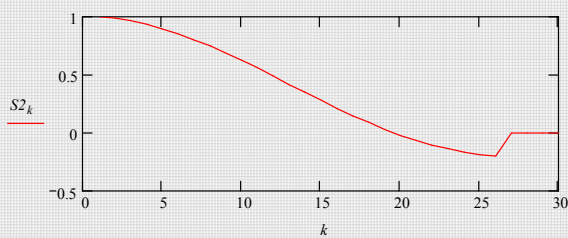
Zmienna czasowa  $t_k := \tau \cdot k$

Ważenie funkcją *sincx* ograniczoną oknem prostokątnym.

Przyjęty współczynnik kształtu  $\alpha := 1.35$

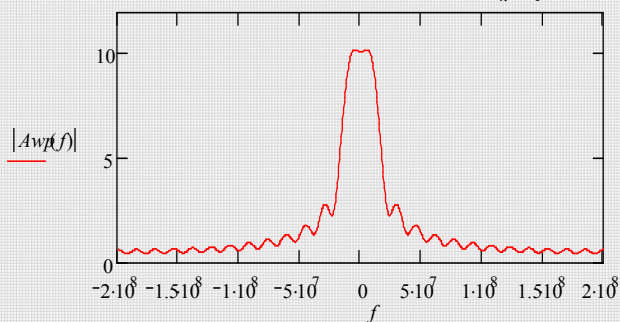
$$\text{Apertura } s_{2k} := \begin{cases} \frac{\sin\left(\alpha \cdot \frac{\omega t}{N} \cdot t_k\right)}{\alpha \cdot \frac{\omega t}{N} \cdot t_k} & \text{if } -\frac{\pi \cdot N}{\omega t} \leq t_k \leq \frac{\pi \cdot N}{\omega t} \\ 1 & \text{if } t_k = 0 \\ 0 & \text{otherwise} \end{cases}$$

Kształt apertury



Przebieg charakterystyki amplitudowej po ważeniu

$$A_{wp}(f) := \sum_{k=1}^{N-1} AP_k \cdot e^{-i 2 \cdot \pi \cdot f \cdot \frac{X_k}{v_p}}$$

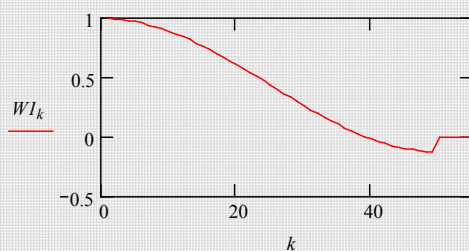




Ważenie funkcją *sincx* ograniczoną oknem Hamminga o parametrach:  $a=0,43$ ,  $b=0,56$

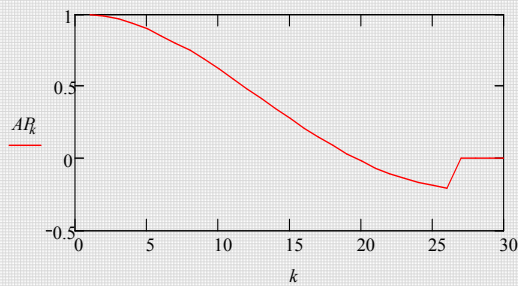
Funkcja okna

$$Wl_k := \begin{cases} a + b \cdot \cos\left(\frac{2 \cdot \pi \cdot t_k}{Tp}\right) & \text{if } |t_k| < \frac{Tp}{2} \\ 0 & \text{otherwise} \end{cases}$$



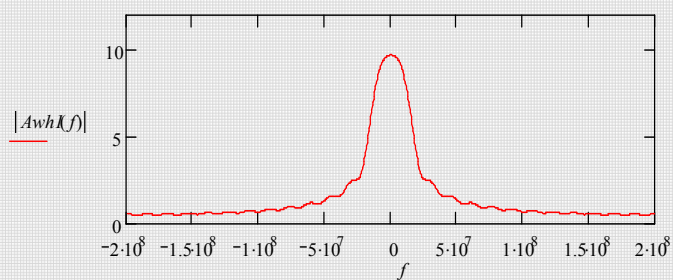
Apertura

$$APl_k := S2_k \cdot Wl_k$$

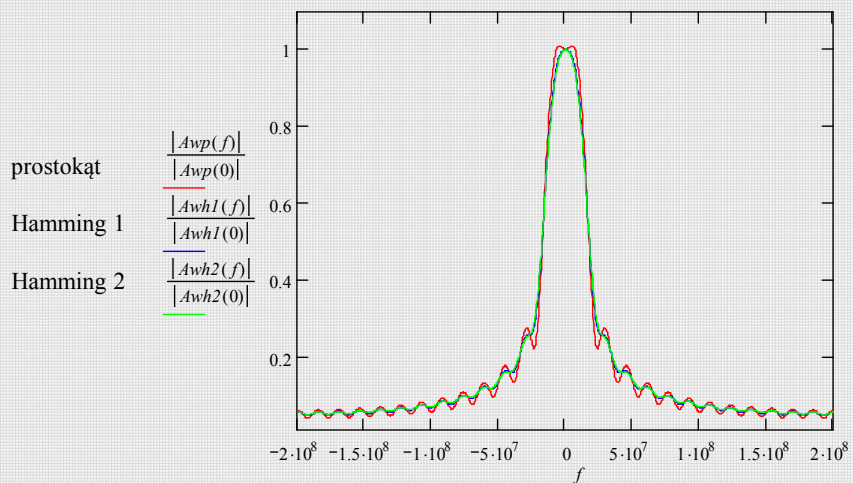


Charakterystyka po ważeniu

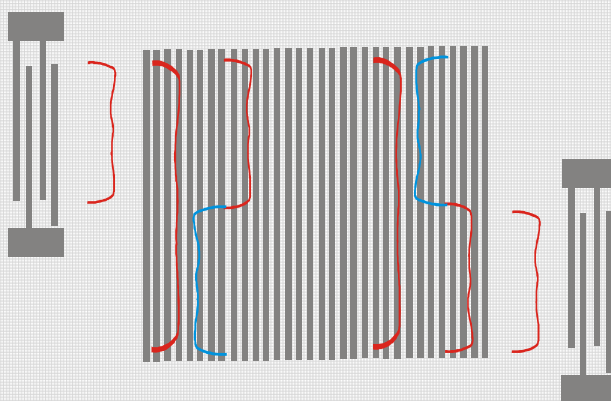
$$Awhl(f) := \sum_{k=1}^{N-1} APl_k \cdot e^{-i2 \cdot \pi \cdot f \cdot \frac{X_k}{vp}}$$

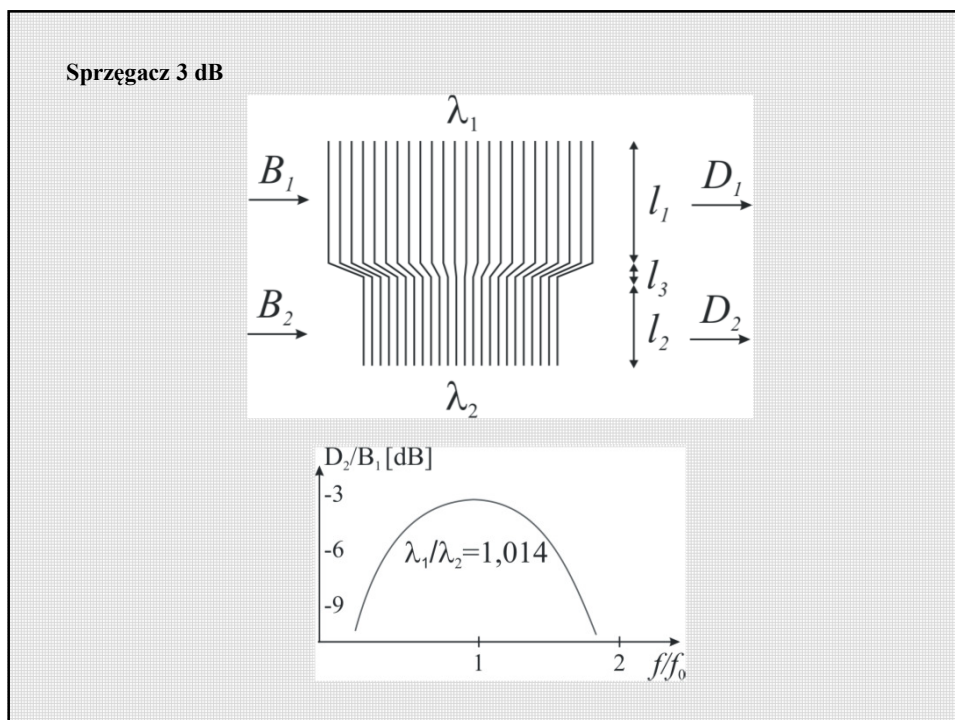
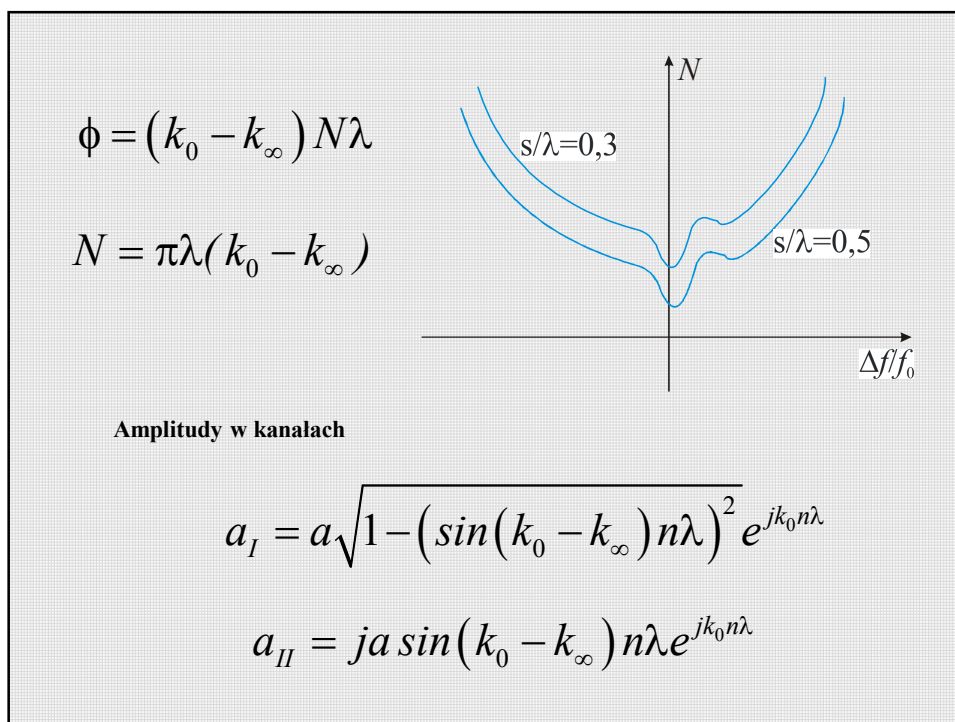


## Porównanie charakterystyk



## Sprzęgacze fal powierzchniowych MSC







Zmienne potencjały na elektrodach muszą być zgodne:

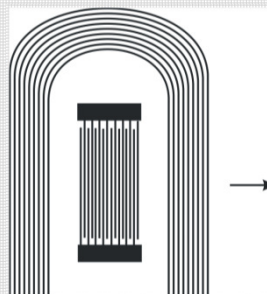
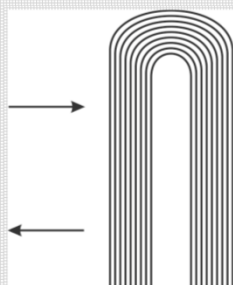
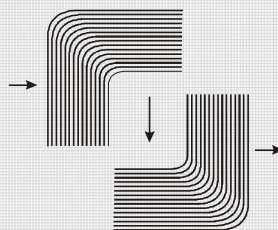
$$V_1 e^{jk_1 n \lambda_1} = V_2 e^{jk_2 n \lambda_2}$$

oraz  $l_1 Y_1 + l_2 Y_2 + l_3 Y_3 = 0$

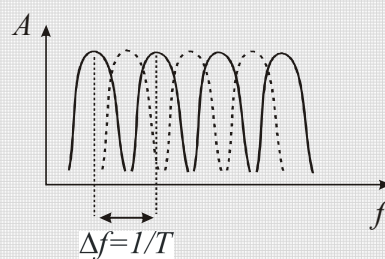
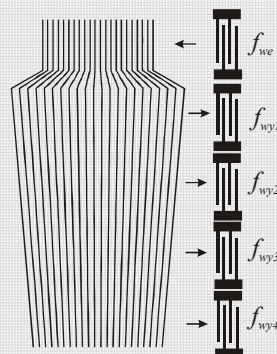
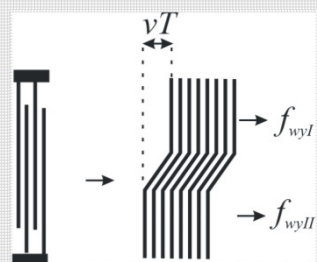
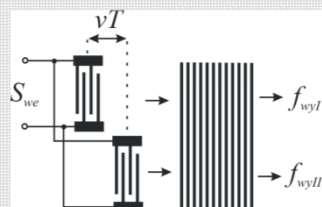
$$D_1 = \frac{B_1 + jB_2}{\sqrt{2}} \quad D_2 = \frac{jB_1 + B_2}{\sqrt{2}}$$

Zastosowania MSC

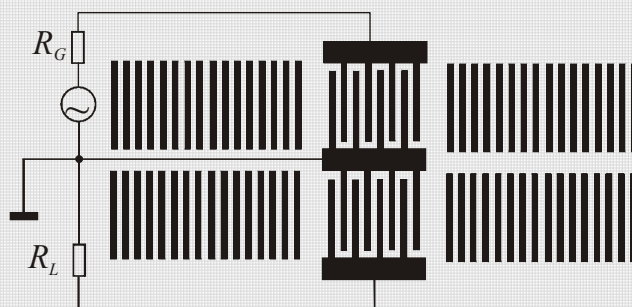
Zamiana kierunku ruchu fali

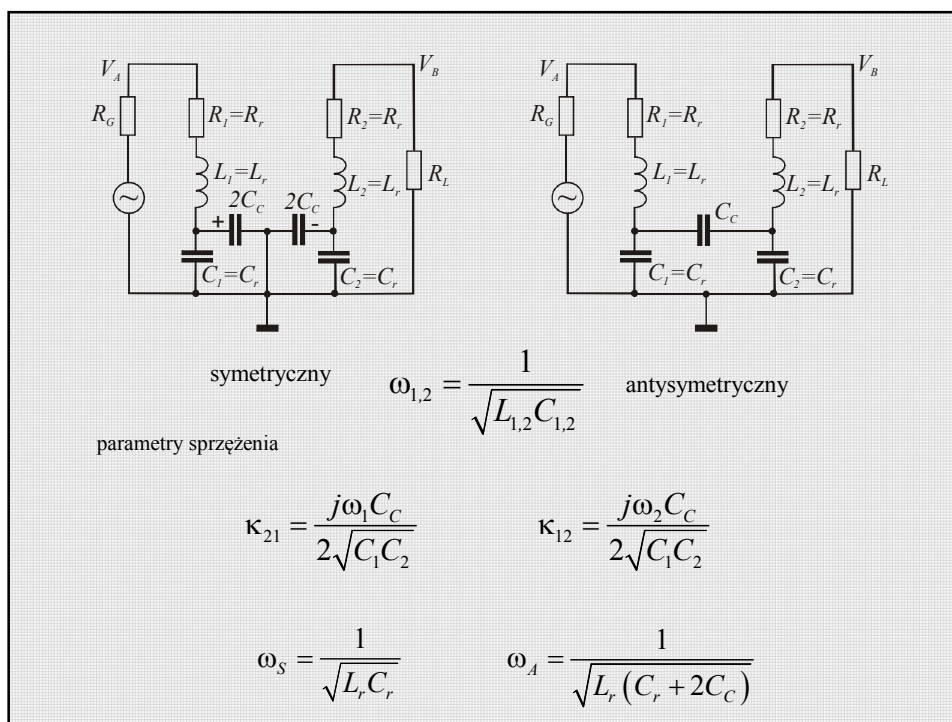


## Filtry wieloczęstotliwościowe (banki filtrów)

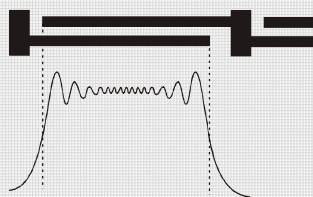


## Filtry sprzężone





Parametry układu zastępczego



$$A_C \approx \frac{C_G}{C_0}$$

$$C_C = A_C D_C C_r$$

$$D_C = A(x, y) = \left[ C(\xi_2) - C(\xi_1) \right] + j \left[ S(\xi_2) - S(\xi_1) \right]$$

$$C(\xi_{1,2}) = \int_0^{\xi_{1,2}} \cos\left(\frac{\pi t^2}{2}\right) dt \quad S(\xi_{1,2}) = \int_0^{\xi_{1,2}} \sin\left(\frac{\pi t^2}{2}\right) dt$$

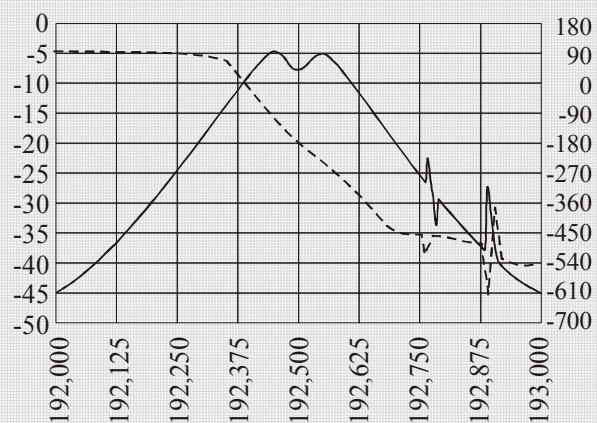
$$\xi_1 = \left(y + \frac{W}{2}\right) \sqrt{\frac{2}{|b|x}} \quad \xi_2 = \left(y - \frac{W}{2}\right) \sqrt{\frac{2}{|b|x}}$$

$$R_r = \frac{1(1-|\Gamma|)}{G_r(1+|\Gamma|)} \quad L_r = \frac{N_r G_r}{4f_s} \quad C_r = \frac{1}{\omega_s^2 L_r}$$

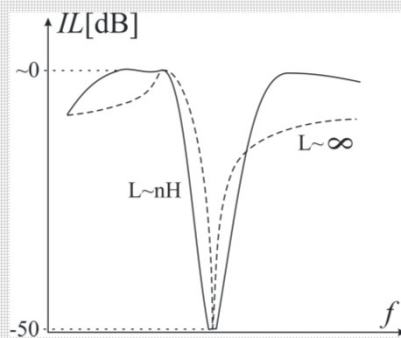
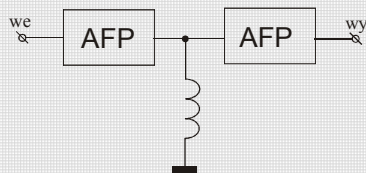


Transmitancja

$$H(\omega) = \frac{H_S(\omega_S) - H_A(\omega_A)}{2}$$



Filtry środkowo-zaporowe (notch)



Projekt metodą COM - przykład

Parametry COM

$$\alpha_n = \frac{\alpha \lambda_{0[\mu\text{m}]}}{\sqrt{W} / \lambda_0} \quad \alpha = \frac{\alpha_n}{\lambda_{0[\mu\text{m}]}} \sqrt{W} = \frac{\alpha_n f_{0[\text{MHz}]}}{\nu} \sqrt{W}$$

$$\kappa_n = \kappa \lambda_{0[\mu\text{m}]} \quad \kappa = \frac{\kappa_n}{\lambda_{0[\mu\text{m}]}} = \frac{\kappa_n f_{0[\text{MHz}]}}{\nu}$$

$$\gamma_n = \gamma \lambda_{0[\mu\text{m}]} \quad \gamma = \frac{\gamma_n}{\lambda_{0[\mu\text{m}]}} = \frac{\gamma_n f_{0[\text{MHz}]}}{\nu}$$

$$C_n = \frac{C \lambda_{0[\mu\text{m}]}}{W}$$

**Admitancja dostatecznie długiego przetwornika:**

$$Y \approx P_{33}^E = j \left( \omega C_T - \frac{4\alpha^2 N_p \lambda_0}{\delta - \kappa} \right)$$

parametr odstrojenia

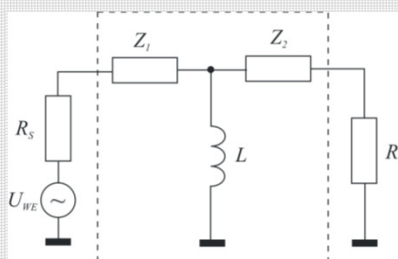
$$\delta = \frac{\Delta\omega}{\nu} - i\gamma = \frac{\omega}{\nu} - \frac{\omega_0}{\nu} - i\gamma = 2\pi \left( \frac{f}{\nu} - \frac{1}{\lambda_0} \right) - i\gamma$$

Całkowita pojemność przetwornika

$$C_T = C_n \frac{W}{\lambda_{0[\mu\text{m}]}} N_p \lambda_0 = C_n \frac{W}{\lambda_0} N_p \lambda_{0[\mu\text{m}]} 10^{-6} = C_n \frac{W}{\lambda_0} N_p \frac{\nu}{f_{0[\text{MHz}]}} 10^{-6}$$

Przykład danych do obliczeń dla  $42^\circ \text{YX LiTaO}_3$

$\alpha_n$	$89,9 \cdot 10^{-5} \Omega^{-1/2}$
$\kappa_n$	0,198
$\gamma_n$	$3 \cdot 10^{-3} \text{ Neper}/\lambda_0$
$v$	4053 m/s
$C_n$	$42,3 \cdot 10^{-5} \text{ F/m}$



Jeśli  $R_s=R_L=R_0$  to max moc rozpraszana w układzie wynosi

$$P_{max} = \frac{1}{2} I U_{WY} = \frac{1}{8} \frac{U_{WE}}{R_0}$$

ponieważ  $I = \frac{U_{WE}}{2R_0}$  oraz  $U_{WY} = U_{WE} - R_0 I = U_{WE} - R_0 \frac{U_{WE}}{2R_0} = \frac{U_{WE}}{2}$

Impedancja połączonych elementów  $L$ ,  $Z_2$  i  $R_L$  wynosi

$$Z_p = \frac{1}{\frac{1}{j\omega L} + \frac{1}{Z_2 + R_0}} = \frac{j\omega L (Z_2 + R_0)}{j\omega L + Z_2 + R_0}$$

! częstotliwość w [MHz], indukcyjność [mH]



Całkowita impedancja  $Z_C = R_S + Z_1 + Z_p = R_0 + Z_1 + Z_p$

Prąd w obwodzie wejściowym  $I = \frac{U_{WE}}{Z_C}$

Napięcie w obwodzie wejściowym

$$U_p = U_{WE} - (R_0 + Z_1)I = U_{WE} - (R_0 + Z_1) \frac{U_{WE}}{Z_C} = \frac{Z_p}{Z_C} U_{WE}$$

Prąd w obwodzie wyjściowym (w obciążeniu)

$$I_L = \frac{U_p}{R_0 + Z_2} = \frac{Z_p}{Z_C (R_0 + Z_2)} U_{WE}$$

Napięcie na obciążeniu

$$U_{WY} = U_p - Z_2 I_L = \dots = \frac{R_0 Z_p}{Z_C (R_0 + Z_2)} U_{WE}$$

Moc rozpraszana na obciążeniu

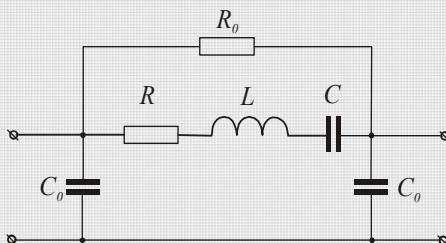
$$P_L = \frac{1}{2} I_L U_{WY} = \dots = \frac{1}{2} \frac{Z_p^2 R_0}{Z_C^2 (R_0 + Z_2)^2} U_{WE}^2$$

Straty wnoszone przez filtr (insertion loss)

$$IL = \frac{P_L}{P_{max}} = S_{21}^2 = \left[ \frac{2R_0 Z_p}{Z_C (R_0 + Z_2)} \right]^2$$

$$IL_{[dB]} = 10 \log IL = 20 \log \frac{2R_0 Z_p}{Z_C (R_0 + Z_2)}$$

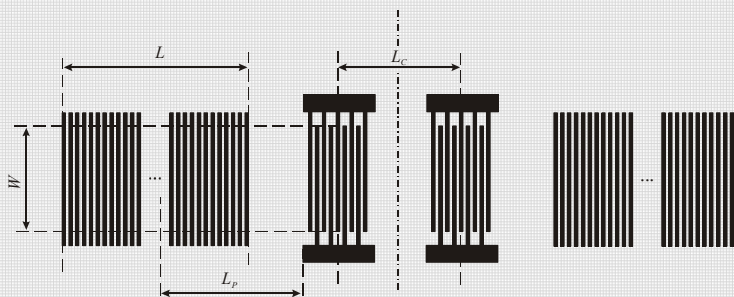
## Podstawy projektowania dwuportowych rezonatorów z AFP



Parametry obwodu zastępczego dają się wyznaczyć z zależności:

$$R_0 = \frac{1}{8 \cdot k \cdot \varepsilon \cdot W_{ap} \cdot f_0 \cdot N^2} \quad R = \frac{1 - |\Gamma(f_0)|}{2 \cdot |\Gamma(f_0)|} \cdot R_0 \quad \varepsilon = \varepsilon_0 \cdot (1 + \varepsilon_r) \quad \varepsilon_r = \sqrt{\varepsilon_{11}\varepsilon_{33} + \varepsilon_{13}^2}$$

$$L = \frac{L_{ef} \cdot R_0}{4 \cdot |\Gamma(f_0)| \cdot f_0} \cdot \frac{L_{ef}}{\lambda_0} \quad C = \frac{1}{\omega_0^2 \cdot L} \quad C_0 = \frac{2}{\pi} \cdot \varepsilon \cdot W_{ap} + C$$



współczynnik odbicia AFP od ekwiwalentnego lustra ma postać

$$\Gamma(f) = \frac{j\chi \sinh(\sigma(f)L)}{\sigma(f) \cosh(\sigma(f)L) + j\delta(f) \sinh(\sigma(f)L)} \quad \sigma(f) = \sqrt{\chi^2 - \left(2\pi \frac{f - f_0}{v_0}\right)^2}$$

$\chi$  współczynnik odbicia przypadający na jeden element struktury - dla rowka  $\chi = \frac{h}{3\lambda_0^2}$

dla rowków  $L_p \approx \frac{\lambda}{4\chi\pi}$

$$\Delta f \approx \frac{v}{2(L_{ef})} \quad L_{ef} = L_c + 2L_p$$

Charakterystyka rezonansowa

$$H(f) = S_{13}(f)^2 e^{-jk_w L_t} \frac{(1 + S_{12}(f)\Gamma(f)e^{-j2k_w L_s})^2}{1 - \Gamma(f)^2 e^{-j2k_w L_{ef}}}$$

$$S_{12}(f) = \frac{ZG_a(f)}{1 + ZY(f_0)} \quad S_{13}(f) = j \sqrt{\frac{2ZG_a(f)}{1 + ZY(f_0)}}$$

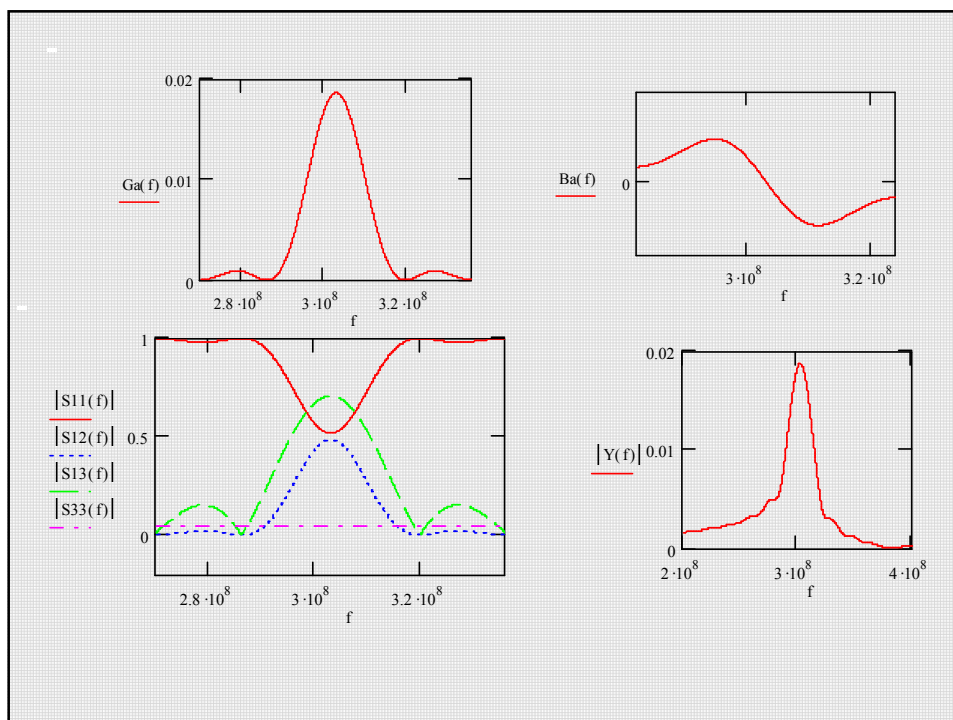
powierzchnia elektrycznie zwarta

powierzchnia elektrycznie rozwarta

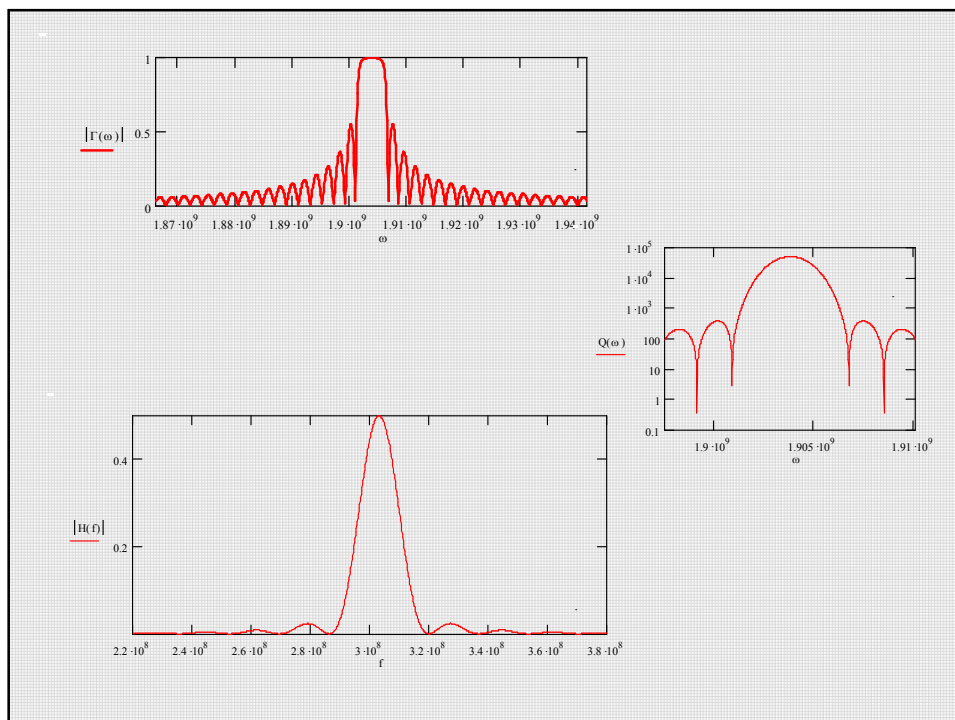
$$k_w = \frac{k_0 + \epsilon_r k_\infty}{1 + \epsilon_r}$$

dobroć wewnętrzna wynosi

$$Q(f) = \frac{2\pi |\Gamma(f)| L_{ef}}{\lambda_0 [1 - |\Gamma(f)|^2]}$$

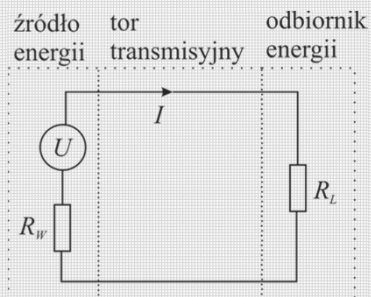






Współpraca układów akustoelektronicznych  
z obwodami zewnętrznymi

### Dopasowanie jest zawsze konieczne - najprostszy przykład



$$I = \frac{U}{R_W + R_L} \quad / \cdot IR_L$$

$$I^2 R_L = \frac{UI R_L}{R_W + R_L} = P_{R_L}$$

$$P_{R_L} \text{ osiąga maksimum gdy } \frac{dP_{R_L}}{dR_L} = 0$$

$$\text{zatem } \frac{U^2}{(R_W + R_L)^2} - 2R_L \frac{U^2}{(R_W + R_L)^3} = 0$$

$$\text{z czego wynika } R_W = R_L$$

Identycznie jest w obwodach prądu zmiennego pod warunkiem, że **wszystkie reaktancje zostaną skompensowane**.

Warunek dopasowania ma zatem postać:

$$R_W + j \sum X_C = R_L - j \sum X_L$$

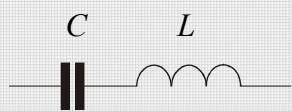
lub krócej

$$Z_{\dot{Z}R} = Z_L^*$$

albo po prostu, jak dla prądu stałego  $R_W = R_L$

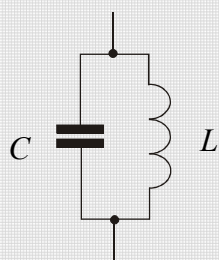
Kompensację reaktancji dla określonej częstotliwości uzyskuje się przez odpowiednie dołączenie reaktancji o charakterze przeciwnym.

kompensacja taka jest możliwa tylko dla określonej częstotliwości



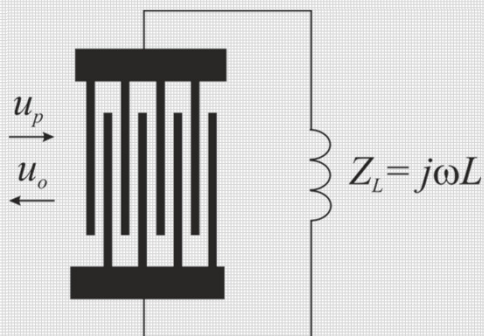
$$\frac{1}{j\omega C} + j\omega L = 0$$

$$\omega = \frac{1}{\sqrt{LC}}$$



$$\frac{1}{\frac{1}{j\omega L} + j\omega C} = \infty$$

Wpływ obciążenia indukcyjnego na pracę IDT



zgodnie z metodą COM

$$u_o = P_{13} V$$

$$I_o = -2P_{13} u_p e^{-j\frac{\Delta\omega}{v} L} + Y V_o$$

$$V_o = -I_o Z_L$$

z czego

$$I_o = -2P_{13} u_p e^{-j\frac{\Delta\omega}{v} L} - Y I_o Z_L = \frac{2P_{13} u_p e^{-j\frac{\Delta\omega}{v} L}}{1 + Y Z_L}$$

$I_p, V_p$  oraz  $u_p$  analogicznie



Z porównania otrzymuje się

$$u_0 = -\frac{2P_{13}^2 Z_L e^{-j\frac{\Delta\omega}{v}L}}{(1/Z_L) + Y} u_p$$

z czego

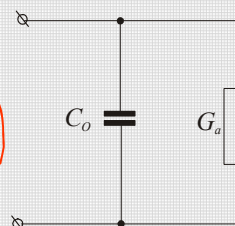
$$\Gamma = \frac{u_0}{u_p} = -\frac{2P_{13}^2 Z_L e^{-j\frac{\Delta\omega}{v}L}}{(1/Z_L) + Y}$$

Dopasowanie jest możliwe tylko przy rzeczywistym mianowniku (skompensowane reaktencje) stąd:

$$\Gamma = -\frac{2P_{13}^2 Z_L e^{-j\frac{\Delta\omega}{v}L}}{\operatorname{Re} Y} \quad \text{zaś} \quad |\Gamma| = -\frac{2|P_{13}|^2}{\operatorname{Re} Y} = \frac{\operatorname{Re} Y}{\operatorname{Re} Y} = 1 \quad !$$

Impedancja IDT na częstotliwości środkowej wynosi:

$$Z_{IDT} = \frac{1}{(1/R_a) + j\omega C_0} = \frac{R_a}{1 + (\omega C R_a)^2} - j \frac{\omega C R_a}{1 + (\omega C R_a)^2}$$



$$\frac{R_a}{1 + (\omega C R_a)^2} = \frac{1}{\frac{1}{R_a} + R_a (\omega C)^2} = \frac{G_a}{G_a^2 + (\omega C)^2} = R_{ZR}$$

część urojoną  
można skompensować

$$\frac{G_a}{G_a^2 + (\omega C)^2} = R_{ZR}$$

dla IDT

$$G_a = 2\pi v(\varepsilon_0 + \varepsilon_{ef}) \frac{W}{\lambda} \frac{\Delta v}{v} N_p^2 \tilde{G}$$

$$C = (\varepsilon_0 + \varepsilon_{ef}) W N_p$$

po podstawieniu i zredukowaniu

$$\frac{\frac{\Delta v}{v} \tilde{G}}{2\pi v(\varepsilon_0 + \varepsilon_{ef}) \frac{W}{\lambda}} = R_{ZR}$$

O dopasowaniu trzeba więc myśleć już na etapie projektowania IDT!

Przykład dla przetwornika z elektrodami prostymi ( $\tilde{G} = 2,87$ )  
na podłożu  $36^\circ$  YX LiTaO<sub>3</sub> dla źródła o rezystancji  $50\Omega$

$$v = 4109 \text{ [m/s]}$$

$$\Delta v/v = 2,8 \text{ [%]}$$

$$\varepsilon_{11} = 40,90 \varepsilon_0$$

$$\varepsilon_{33} = 41,45 \varepsilon_0$$

$$\varepsilon_{13} = 0$$

$$\varepsilon_0 = 8,854 \cdot 10^{-12}$$

$$\frac{\frac{\Delta v}{v} \tilde{G}}{2\pi v(\varepsilon_0 + \varepsilon_{ef}) \frac{W}{\lambda}} = R_{ZR}$$

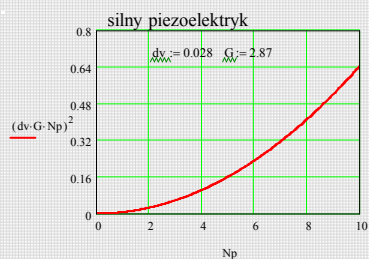
$$\frac{\frac{\Delta v}{v} \tilde{G}}{R_{ZR} 2\pi v(\varepsilon_0 + \varepsilon_{ef})} = \frac{W}{\lambda}$$

$$\varepsilon_{ef} = \sqrt{\varepsilon_{11}\varepsilon_{33} - \varepsilon_{13}^2} = 41,18\varepsilon_0$$

$$\frac{W}{\lambda} = \frac{\frac{\Delta v}{v} \tilde{G}}{R_{ZR} 2\pi v(\varepsilon_0 + \varepsilon_{ef})} = \frac{0,028 \cdot 2,87}{50 \cdot 2\pi \cdot 4109 \cdot (1 + 41,48) \cdot 8,854 \cdot 10^{-12}} \approx 167$$

### Impedancja przetwornika krótkiego

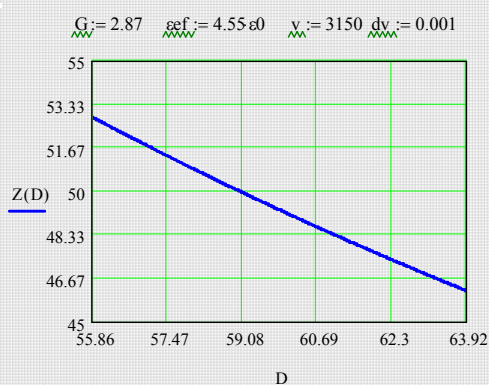
$$Z_{IDT} = \frac{G_a}{G_a^2 + (\omega C)^2} = \frac{\frac{\Delta v}{v} \tilde{G}}{2\pi v (\epsilon_0 + \epsilon_{ef}) \frac{W}{\lambda} \left[ \left( \frac{\Delta v}{v} N_p \tilde{G} \right)^2 + 1 \right]}$$



$$Z_{krótkiegoIDT} = \frac{\frac{\Delta v}{v} \tilde{G}}{2\pi v (\epsilon_0 + \epsilon_{ef}) \frac{W}{\lambda}}$$

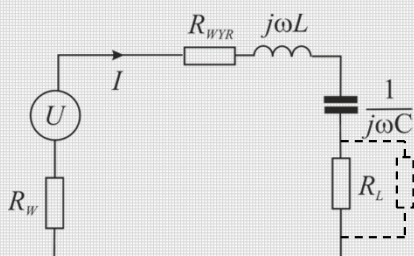
### Dla kwarcu ST

$$D \equiv \frac{W}{\lambda}$$

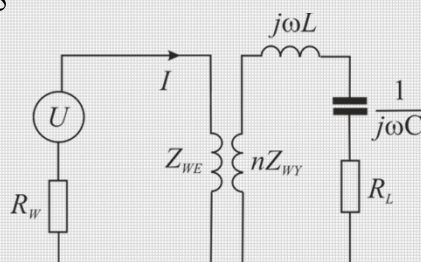




Trudniej (bez zbędnych strat) jest wyrównać różnice rezystancji



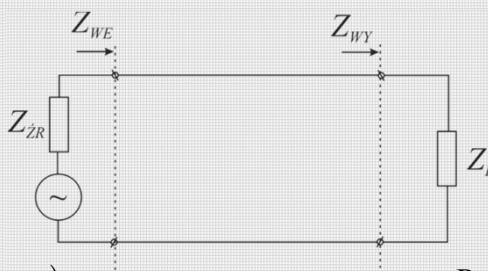
Żaden z tych pomysłów nie jest całkowicie skuteczny



Często zdarza się, że  $\text{Re}(Z_{\dot{Z}R}) \neq \text{Re}(Z_L)$

Na dostatecznie wysokich częstotliwościach ( $2\pi l / \lambda \gg 0$ ) można wykorzystać własności transformacyjne linii długich

$$Z_{\dot{Z}R} = Z_{WE}^* \qquad Z_{WE} \qquad Z_{WY} \qquad Z_{WY} = Z_L^*$$



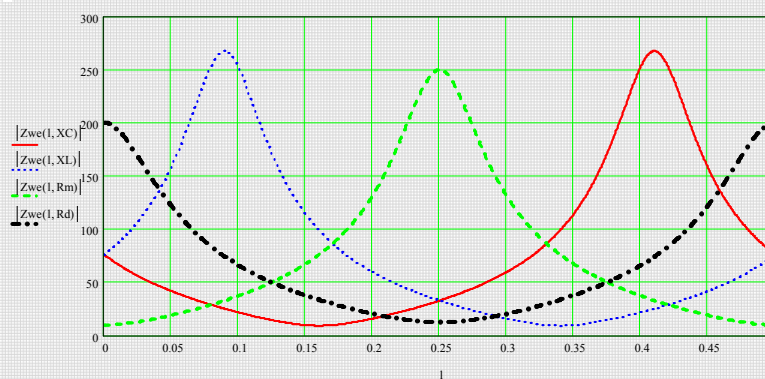
$$\text{Re}(Z_{\dot{Z}R}) = \text{Re}(Z_{WE})$$

$$\text{Re}(Z_{WY}) = \text{Re}(Z_L)$$

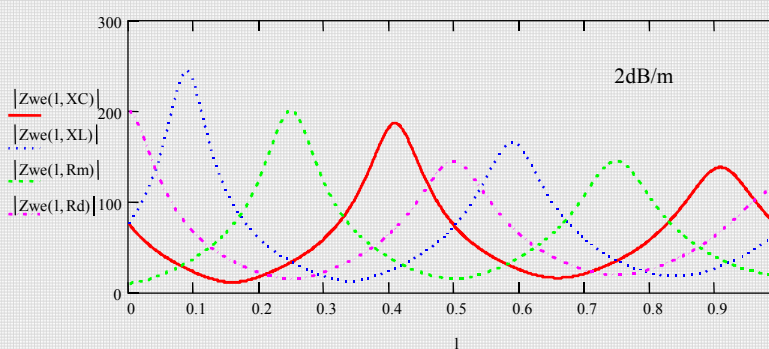
$$Z_{WE}(l) = Z_0 \frac{Z_{WY} + Z_0 \text{tgh}(\gamma l)}{Z_0 + Z_{WY} \text{tgh}(\gamma l)} \quad \longrightarrow \quad Z_{WE}(l) = Z_0 \frac{Z_{WY} + jZ_0 \text{tg}(\beta l)}{Z_0 + jZ_{WY} \text{tg}(\beta l)}$$

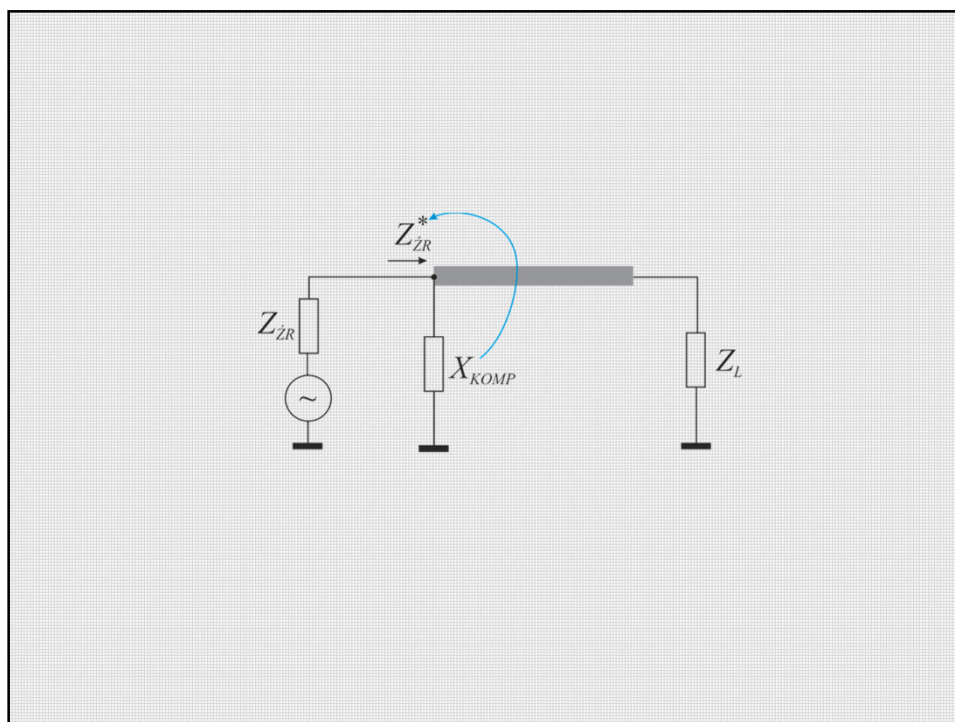
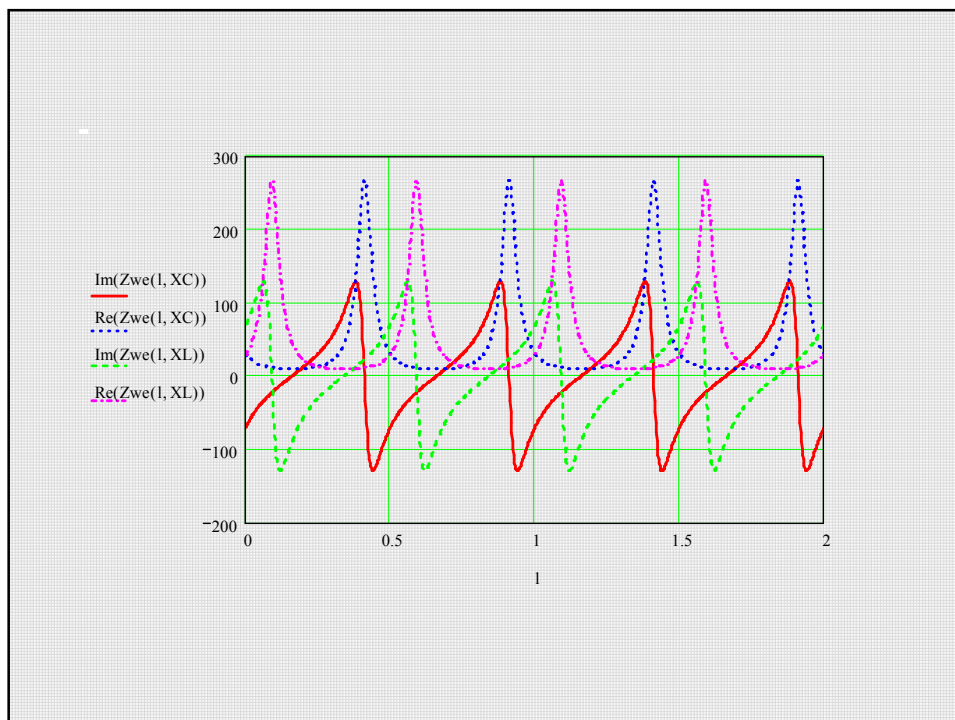
## Przykłady dla czterech typów obciążeń

$$\begin{array}{ll} \underline{XC := 30 - j \cdot 70} & Rm := 10 \\ \underline{XL := 30 + j \cdot 70} & Rd := 200 \end{array} \quad [\Omega]$$



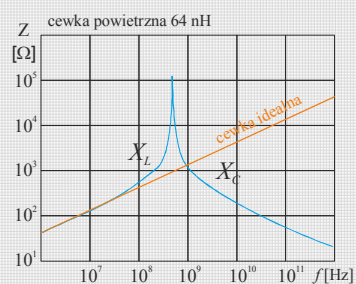
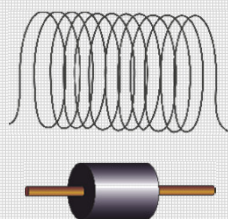
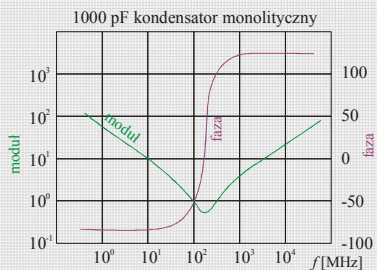
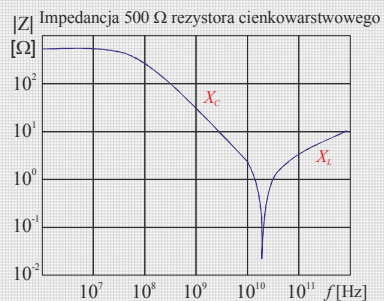
## Jeśli linia wnosi straty



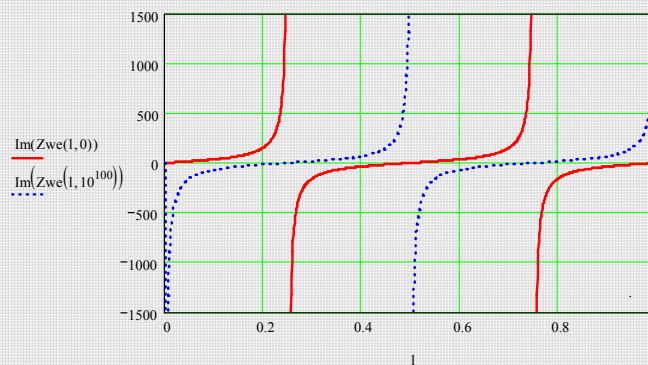




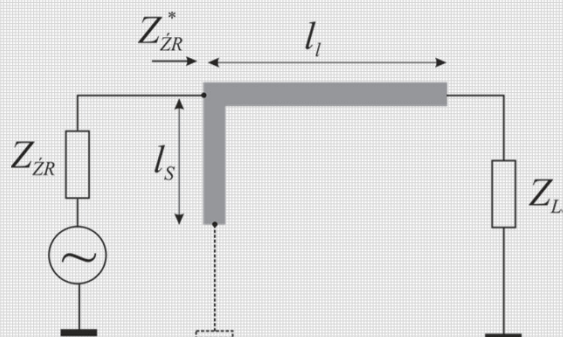
### Realizacja $X_{KOMP}$ na wysokich częstotliwościach



### Linia zwarta i rozwarta na końcu

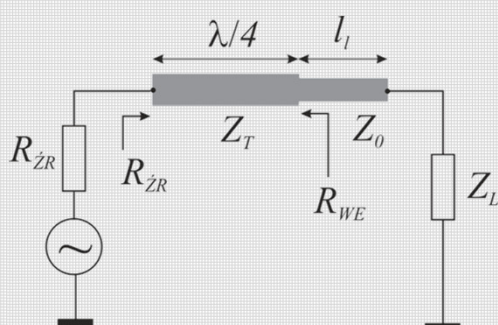


Jeśli źródło jest zespolone



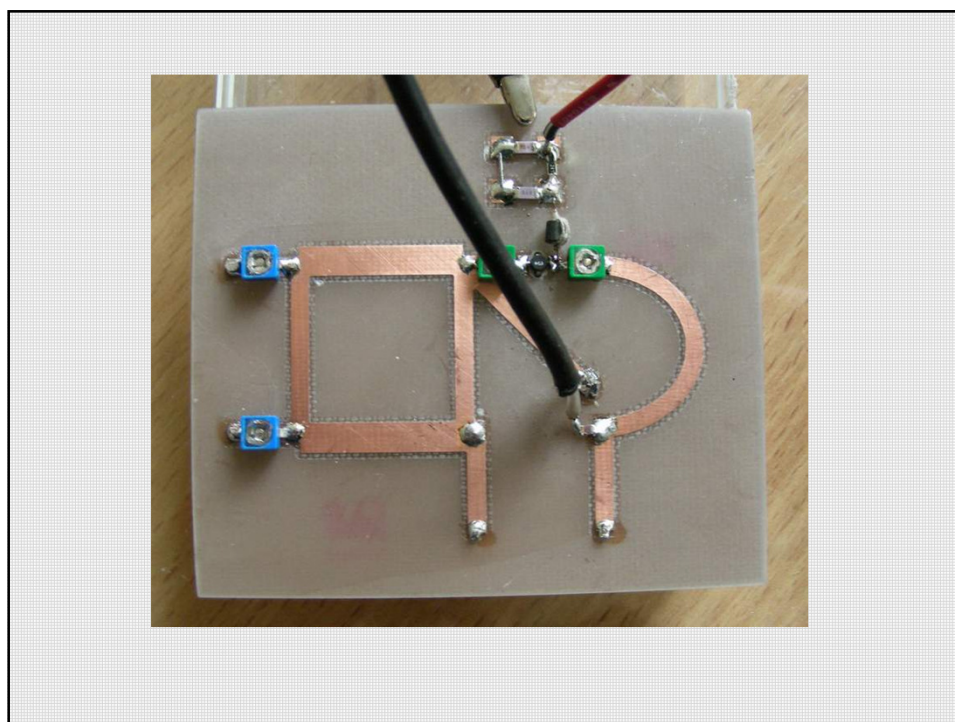
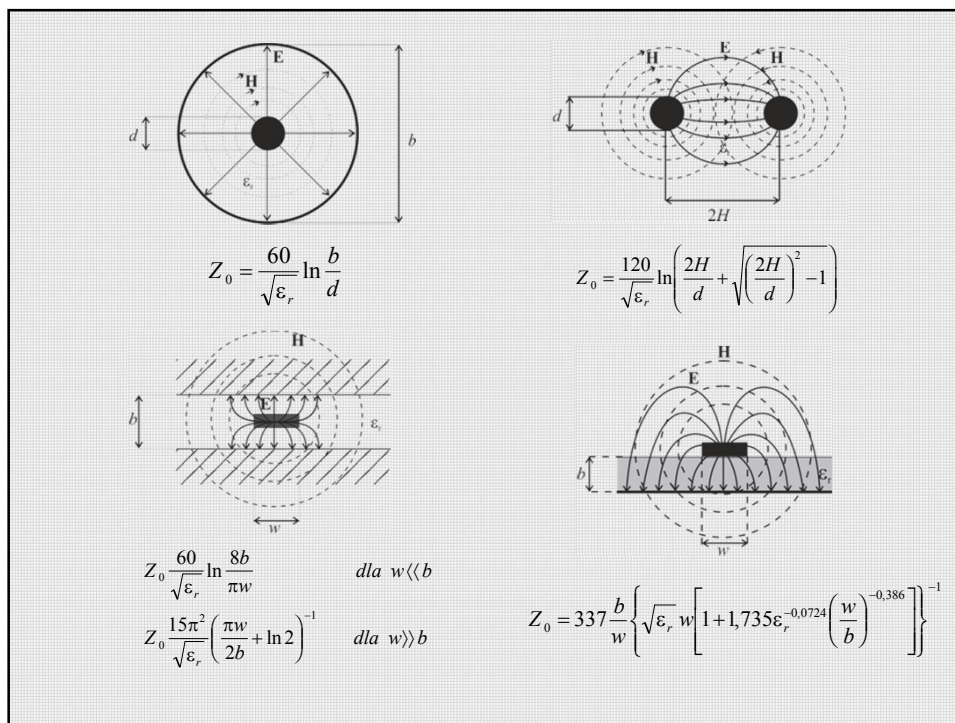
Stroik może też spełniać rolę filtru!

Jeśli źródło jest rzeczywiste

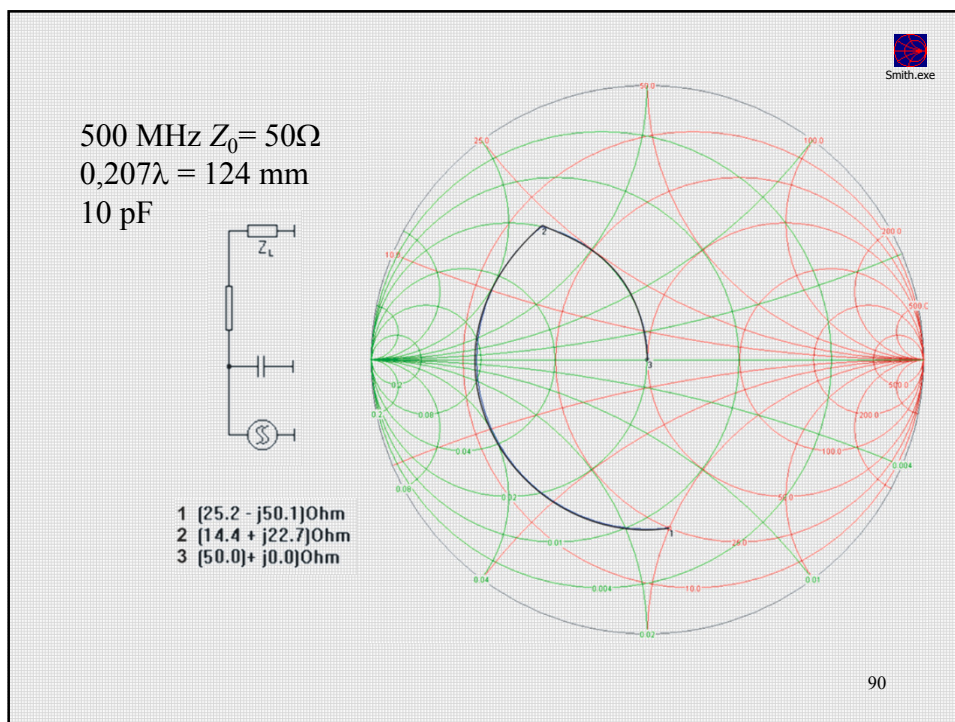
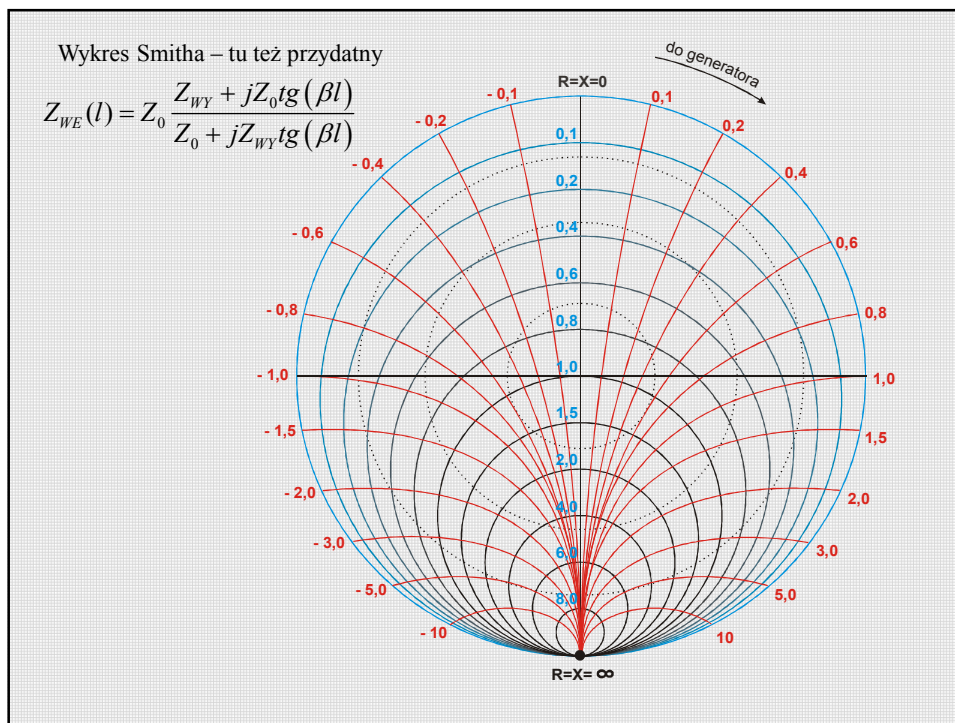


$$Z_T = \sqrt{R_{\dot{Z}R} R_{WE}}$$









*DZIĘKUJĘ ZA UWAGĘ*